

T.C.
BAŞBAKANLIK
Devlet Meteoroloji İşleri
Genel Müdürlüğü

248

D İ N A M İ K M E T E O R O L O J İ

CILT : II

Yazan :
Taşkın Tuna MSc
Fizik Yüksek Mühendisi

ANKARA/1980

Ö N S Ö Z

Dinamik Meteoroloji konusunda hazırladığımız bu kitapçıkla, 2.cilt tamamlanmış oluyor.

Dinamik Meteoroloji Cilt:2, uzun süren etüd, inceleme ve literatür çalışmalarının bir ürünüdür. Belki en önemli Özelliği, konulara sadece matematiksel yönden bir yaklaşımından ziyade Sinoptik Meteoroloji'nin de temel sonuçlarına bir çözüm ve yorum getirebilme tekniğini geliştirmiştir. Böylece Sinoptik ve Dinamik Meteoroloji'nin bir bakıma "teoskop" i meydana getmiş olmaktadır.

Bu cilt, hemen tüm ileri Ülke Üniversitelerinde okutulan Dinamik Meteoroloji Derslerinin tüm konularını içermektedir. Problemlerin bir kısmı çözülmüş, bir kısmı da okuyucuya bırakılmıştır.

Bu cildin en ağırlıklı bölümü divergans-konvergans ve vortisite ilişkileridir.. Bir bakıma, bu bölümleri gayet iyi inceleme fırsatı bulabilen araştıracı ve uzmanlar, sanırım Nümerik Hava İstidlâlleri (NWP) konusunda ilk ve temel yakasına da kavuşmuş olacaklardır.

Konular, kuşkusuz Meteoroloji Teknik Lisesi'nin müfredat çerçevesini çok çok aşan boyutlardadır. Buna nla beraber, meraklı ve ilgili öğrencilerimize de kitabı faydalı olabileceğimi ümidi taşımaktayım.

Kitabın hazırlanış ve baskıya hazır hale geligi sırasında çok titiz bir kontrolden geçirilmesine rağmen, bazı hatalar fjzden kaçmış olabilir.

Meslektaşlarının bu hataları düzeltmelerini ve her çeşit uyarıları için büyük memnuniyeti sunmak ifade etmek isterim.

Taşkın Tuna, MSc
Fizik Yüksek Mühendisi

Ocağı/.../...

BÖLÜM III
A T M O S F E R İ N H A R E K E T İ
(RÜZGÂRLAR)

1. Ürûs :

Saatlik, günlük ve aylık hava değişimelerini meydara getiren sebep, atmosferin hareketidir denilebilir. Bu hareketi meydana getiren kuvvetin doğmasında, güneşten alınan ısı enerjisinin çok önemli bir payı olduğu muhakkaktır. Husule gelen enerji, atmosferi ısıtınca, havanın hareketi ile birlikte "atmosfer makinesi" de çalışmaya başlar. Arzın ısınmasının birçok faktöre bağlı olduğu bilindiğine göre (meselâ Albedo, yükseklik farkı, enlem derecesi, bulutluluk, mevsimler v.s.) atmosferin geniş bir sahadaki hareketinin yanı, gerek sirkülasyonunun tam ve münakaşasız bir "resmini" ortaya çıkartmanın güçlüğü, kendiliğinden ortaya çıkacaktır. Ayrıca, arz yüzeyinin engebeli oluşu dolayısıyla sürtünme, özellikle yere yakın seviyelerde rüzgârların hızına ve yönüne tesir edecektir. Bütün bunlara ilâveten arzın kendi ekseni etrafındaki dönüşü ve bu dönüşten meydana gelen tabii bir kuvvetin -Coriolis Kuvvetin- her zaman göz önünde tutulması gerekecektir.

'Atmosferin genel sirkülasyonu (dolaşımı) geniş bir saha için söz konusu olacağından bu konuyu daha ilerideki bölümlerde inceliyeceğiz. Bu bölümde daha ziyade mahalli sebeplerden ileri gelen "orta çaptaki" bir alanda husule gelen rüzgârlar üzerinde duracağız.

Once meseleyi daha küçük bir açıdan görmek üzere, arzin ekseni etrafında dönmediğini farzedelim.

2. Hareket Denklemleri ve Basınç Gradient Kuvveti :

Arz, kendi etrafında dönmediği takdirde, sabit bir koordinat sisteminde Newton Kanunu'na göre hareket denklemi:

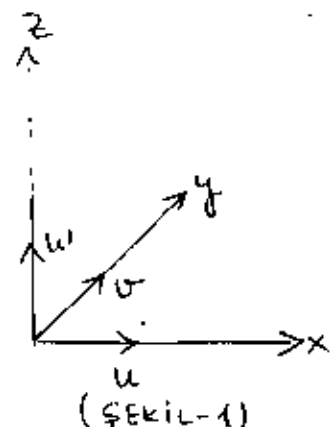
$$F = m \cdot a \quad (3.1) \quad \text{ile verilir.}$$

Burada m : Hareketlinin kütlesi, a : Hareketlinin ivmesi ve F 'de (din) cinsinden bu harekete sebep olan kuvvetin büyüklüğüdür. (3.1) denklemi, karteziyen koordinatlar da 3 boyutlu olarak aşağıdaki şekli alır.

$$F_x = m \cdot a_x = m \cdot \frac{du}{dt}$$

$$F_y = m \cdot a_y = m \cdot \frac{dv}{dt} \quad (3.2)$$

$$F_z = m \cdot a_z = m \cdot \frac{dw}{dt}$$



(Şekil 1) den de anlaşılacağı gibi u , v , w , x , y , z eksenleri üzerindeki parçasının hız bileşenleri, $\frac{du}{dt}$, $\frac{dv}{dt}$, $\frac{dw}{dt}$ ise, aynı el enler üzerindeki ivme bileşenleridir.

Eğer, birim kütleyi (1 gm.) kabul edersek, bu takdirde (3.2) ifadeleri :

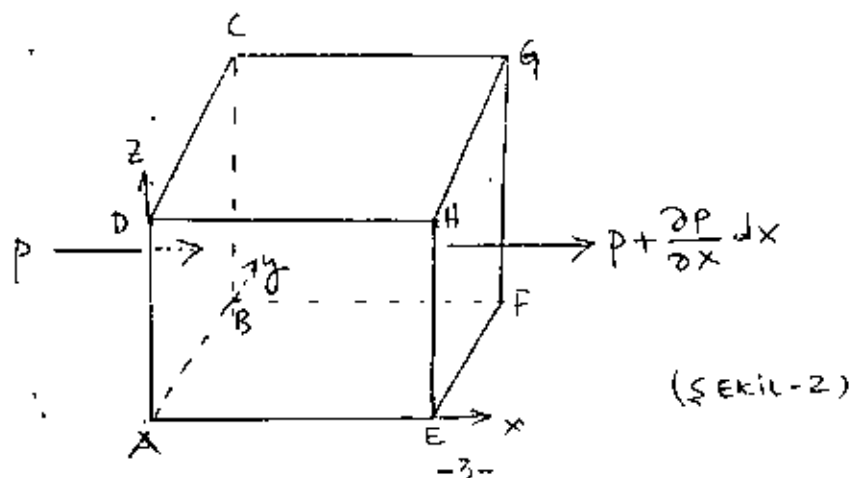
$$F_x = \frac{du}{dt}, \quad F_y = \frac{dv}{dt}, \quad F_z = \frac{d\omega}{dt} \quad (3.3)$$

şeklini alırlar. Burada F_x , F_y ve F_z birim kütlüye sahip parçacık üzerine, meselâ birim kütledeki bir hava parseli üzerine etki ederek, onu harekete geçiren kuvvetler "topluluğudur". Bunların içinde sürtünme, viskosite gibi kuvvetler de bulunabilir. Fakat meteorolojî yönünden veya daha açık bir deyişle sinoptik bakımından bu kuvvetler, "Basınç Gradient Kuvveti" kadar etkili olamazlar. Basınç Gradient Kuvveti, diğer kuvvetlerin yanında gerek büyüklik bakımından, gerekse alt ve üst atmosferin bütün tabakalarında her zaman mevcut olduğundan, dinamikte ihmal edilemez.

Basınç Gradient Kuvveti, iki noktası arasındaki basınç farkından doğan bir kuvvettir. Bu kuvvet, dikey olarak alınan iki basınç seviyesine göre ertaya çıkarsa dikey basınç Gradient Kuvveti adını alır. Eğer noktalar yatay bir düzlemede ise, (meselâ yerde) bu takdirde yatay basınç Gradient Kuvveti tarif edilmiş olur.

Basınç Gradient Kuvvetinin değeri şu şekilde bulunabilir:

Sonsuz küçük bir küp düşünelim. Küpün kenarları kullanılan koordinat eksenlerine paralel olsun. (bk. Şekil-2)



Küpün A B C D yüzeyindeki basınç p olursa, karşıt olan E F G H yüzeyindeki basınç $(P + \frac{\partial P}{\partial x} \cdot dx)$ olarak gösterilecektir. Burada $\frac{\partial P}{\partial x}$ basıncın x yönündeki artma miktarıdır. dx ise, küpün bir kenarının uzunluğudur. (Misal olarak farz edelim ki, $p=1000$ mb.dır ve her metrede de 0,1 mb.lik bir basınç artışı vardır. Küpün uzunluğu 10 m. ise, karşıt yüzeydeki basınç değeri:

$$P + \frac{\partial P}{\partial x} dx = 1000 + \frac{0,1}{1} \cdot 10 = 1001 \text{ mb. dir}$$

A B C D ve E F G H yüzeylerine tesir eden basınçları bulduktan sonra, bu yüzlere isabet eden kuvvet de hesaplanabilir. $P = \frac{F}{S} \Rightarrow F = p \cdot S$ formülüne göre, A B C D yüzeyine tesir eden kuvvet: $(p \cdot dy \cdot dz)$ ve E F G H yüzeyine tesir eden kuvvet de $(P + \frac{\partial P}{\partial x} dx)(dy \cdot dz)$ olacaktır.

Her iki yüzeye tesir eden basınç kuvveti böylece hesaplandıktan sonra, bu iki basınç kuvvetinin farkı, Basınç Gradient Kuvvetinin değerini verecektir. Yani :

$$F_x = p \cdot dy \cdot dz - (P dy dz + \frac{\partial P}{\partial x} dx dy dz) \quad \text{veya:}$$

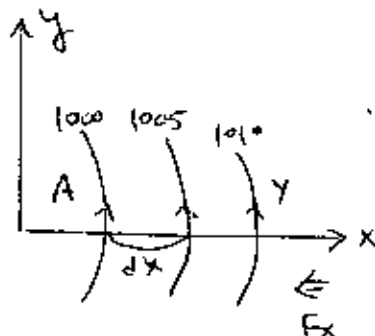
$$F_x = - \frac{\partial P}{\partial x} dV \quad (3.4)$$

(3.4) formülündeki $dV = dx dy dz$ küpün hacmini göstermektedir.

Birim kütle için $dV = \frac{m}{\rho}$ veya $dV = \frac{1}{\rho}$ olacağından (3.4)

denklemi, $F_x = - \frac{1}{\rho} \frac{\partial P}{\partial x}$ (3.5) şeklini alır.

(3.5) Denkleminde : Eğer $\frac{\partial P}{\partial X} > 0$ ise, yani x ekseninin pozitif yönünde (batı-doğu yönünde) basınç artışı görülürse, Basınç Gradient Kuvvetinin doğrultusu $F_x < 0$ negatif yönde olacaktır. Başka bir deyişle Basınç Gradient Kuvveti yüksek basınçtan alçak basınçta doğru yönden bir kuvvet olarak doğacaktır. Aynı şekilde $\frac{\partial P}{\partial X} < 0$ olduğu zaman $F_x > 0$ olacak ve Basınç Gradient Kuvveti'nin yönü, yine yüksek basınçtan, alçak basınçta doğru olacaktır.



$$\frac{\partial P}{\partial X} > 0 \text{ i.e., } (P, \vec{x} \text{ in } (+) \text{ yönünde artar}) \\ F_x = \text{negatif olur.}$$

(3.5) Formülünü küpün bütün yüzeyleri için yaparsak:

$$F_x = -\frac{1}{\rho} \frac{\partial P}{\partial X}, \quad F_y = -\frac{1}{\rho} \frac{\partial P}{\partial Y}, \quad F_z = -\frac{1}{\rho} \frac{\partial P}{\partial Z} \quad (3.6)$$

formülleri elde edilir. F_z , dikey Basınç Gradient Kuvvetini göstermekte olup, yine yüksek basınçdan (aşağı seviyelerden) alçak basınçta (yükarı seviyelere) doğru yönelmiştir. Bu kuvvet aşağıya doğru yönden çekim kuvveti ile dengede kalırsa, hidrostatik eşitlik sağlanır.

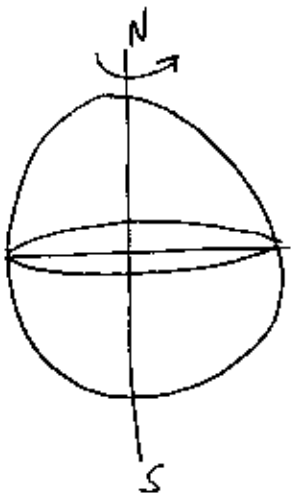
Havanın dikine olan hareketi, yatay hareketinin yanında oldukça küçüktür. Ve birçok durumlarda göz önüne alınabilir. (Tornado ve Harricanler hariç) Bu yüzden hareketi, yatay bir düzlem için yazacak olursak; (3.3) denklemleri ile (3.6) denklemlerinden:

$$\frac{du}{dt} = -\frac{1}{f} \frac{\partial p}{\partial x}, \quad \frac{dv}{dt} = -\frac{1}{f} \frac{\partial p}{\partial y}$$

(3.7)

İfadeleri elde edilir. (3.7) denklemleri sabit bir koordinat sisteminde hava parselinin hareket denklemleri olarak belirtilir.

3. Arzin Dönüşünün Tesiri (Coriolis Kuvvet)

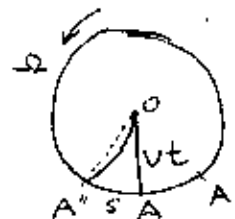
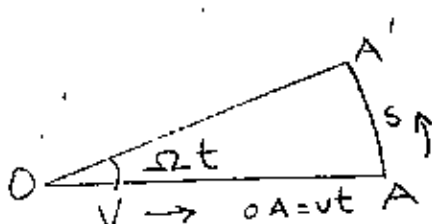


Arz, Ω ile gösterilen bir açısal hızla siklonik olarak (batıdan-doğuya) dönmektedir. Bu dönüş nedeniyle kuzey yarı kürede, herhangi bir hareketlinin hızında bir değişim olmaksızın, yönünde bir değişim olur. Bu yön değişimi, hareket yönünün daima sağına doğru tesir eder. İşte bu sapiş kuvvetine Coriolis Kuvvet denilir ve kuzey yarı küresinde hareket yönünün daima sağına tesir ederken, güney yarı küresinde ise, hareketlinin soluna tesir eder.

Coriolis Kuvvetin matematiksel ifadesi aşağıdaki gibi bulunur:

Kabul edelim ki, tam kuzey kutbunun üzerinde bulunan bir gözlemci, kendisinden aşağı enlemlere doğru hareket eden bir hava parselini izlesin. Bu parselin hareketi, mese-lâ yatay seviyede güneşe doğru hareket eden bir balonla takip edilebilir. Eğer arz, kendi ekseni etrafında dönmemiş olsaydı, balon kutup noktasından V hızıyla bir (A) noktasına

kadar düzgün bir doğrultuda hareket etmiş olacaktır.



(Şekil - 3)

Halbuki arz Ω değerindeki bir açısal hızla sıktonik olarak dönmektedir. Hareketli parselin veya parselin hareketine uyan balonun (O) noktasından V hızıyla hareket etmesinden sonra bir (t) zamanı geçmisi olsun. Bu takdirde gözlemci A noktasını \hat{A} görmüş olacaktır. Arz Ω yüzeyi saat yelkovannının her istikametinde Ω açısal hızıyla dönüyor, hareketli OA mesafesini kat'edinceye kadar geçen zaman içinde (A) noktası (\hat{A}) noktası da (\hat{A}) ya gelmiş olacaktır. Netice olarak hareketli parsel veya balon, OA' yolu boyunu kat'etmiş olacaktır.

S yer değiştirmesinin değeri t zamanı zarfında olduğuna göre :

$$AA'' = AA' = S = \frac{1}{2} \omega t^2$$

(3.8) dir.

Yani S yer değiştirmesi, a ivmesi ile ve t zamanının karesi ile orantılıdır.

Diğer yandan $AA = S = V t \cdot \omega t$ dir.

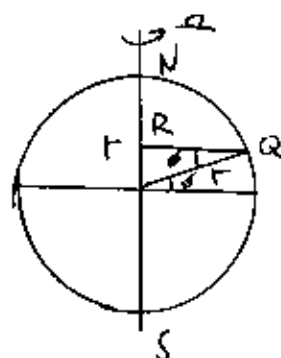
$(OA >> AA)$ olduğuna göre :

$$(3.8) \text{ ifadesinden : } a = \frac{2S}{t^2} = \frac{2AA'}{t^2} = \frac{2v\omega t}{t^2}$$
$$a = 2\Omega V \text{ elde edilir. (3.9)}$$

(3.9)' ifadesi, birim kütleye tesir eden Coriolis ivmeyi (veya kuvveti) temsil etmektedir. Bu kuvvet, yatay bir düzlemin, düzleme dik bir eksen etrafında dönüşünden ileri gelen bir ivme olarak kendini gösterir, ancak ve ancak göz önüne alınan parsel birim kütleye (1 gm.) sahipse.....

(3.9) İfadesi yatay bir düzlem için doğru olacaktır. (meselâ bir kağıt parçasının, kağıt düzlemine dik bir eksen etrafında döndüğünü düşünürsek, meydana gelen kuvvet kağıt parçasının dönüş hızı (açışal hızı) ile, kağıt üzerinde hareket eden bir parçacığın hızı ile doğru orantılı olacaktır.)

Eğer arz gibi bir küresel yüzey ele alınırsa, bu kuvvet arzin her noktasında aynı derecede etkili olamaz. Kutuplardan aşağı enlenlere doğru inildikçe, bu kuvvetin değeri azalır. Bu azalmanın miktarı nedir? Bunun cevabı da enlem derecesi ile ilgili olacaktır. (bk.Şekil-4)



(Şekil-4)

Arz, mademki kuzey-güney kutupları boyunca çizilen bir eksen etrafında sabit bir açısal hızla dönmektedir. Şu halde meselâl, orta enlemlerde bulunan bir Q noktasındaki Coriolis Kuvvet, bu noktanın NS ekseni üzerindeki iz düşüm noktası olan R'nin arzin merkezine olan OR=b mesafesi ile orantılı olacaktır.

$$\text{Şekile göre : } \sin \phi = \frac{b}{r}, \quad b = r \cdot \sin \phi$$

Burada (ϕ) aynı zamanda enlem derecesini göstermektedir. r ise, arzin yarıçapıdır.. Fakat aynı zamanda $r = \vec{r}$ vektörü ile de gösterilebilir. (Kabul ediyoruz ki, kutup noktasındaki arzin açısal hız vektörünün (ω) büyüklüğü, arzin yarıçapı ile gösterilsin). Bu takdirde $b = \omega \sin \phi$ olur. (3.10)

Sonuç olarak, arz yüzeyi üzerindeki herhangi bir noktaya tesir eden Coriolin Kuvvet, bu noktanın bulunduğu enlem derecesi ile orantılıdır. Şu halde (3.9) denklemi ile (3.10) denklemlerinden : Herhangi bir yerdeki Coriolis ivme (veya birim kütleye tesir eden kuvvet).

$$a = F = 2 \omega V \sin \phi \quad (3.11)$$

İfadeleri ile verilecektir.

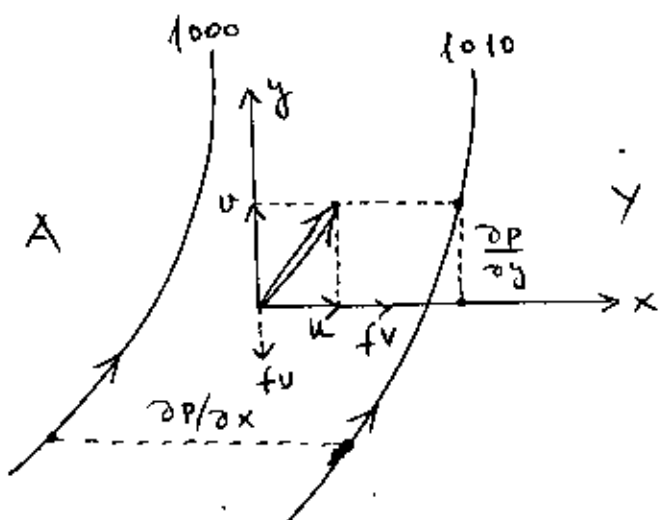
(3.11) ifadesinden hemen görülecektir ki, ekvatorda ($\phi=0$, $\sin \phi=0$) olacağından Coriolis Kuvvet sıfırdır. Buna karşılık, yuarı enlemlere doğru olarak (ϕ) değerine karşılık ($\sin \phi$) değeri de artacak ve maximum Coriolis Kuvvet tam kutupta ($\phi=90^\circ$, $\sin \phi=1$), $F = 2 \omega V$ değeri ile belirtilecektir ki, bu ifadeyi de daha önce kutup noktası için bulmuştuk. (3.9)

(3.11) ifadesinden de anlaşılacağı üzere, birim kütleye tesir eden Coriolis Kuvvet, hareketlinin hızıyla da doğru orantılıdır. Arzin yüzeyi üzerindeki herhangi bir nokta için, Ω ve ϕ değerleri daima sabit kalacağından $2\Omega \sin\phi$ sabitesini (f) ile göstermek mümkündür. Bu takdirde Coriolis Kuvvet :

$$(F = f.v) \quad (3.12) \text{ şeklinde yazılabilir.}$$

4. Hareket Denklemleri (Arz Döndüğünde Göre) :

(3.6) Denklemleri arzin eksenin etrafında dönmediği düşünülerek yazılmıştı. Arzin Ω açısal hızıyla döndüğü hesaba katılırsa, hareket denklemlerinin Coriolis Kuvvetinin tesiri altında kalarak değişicegi söylenebilir. Havanın Z eksenin yönündeki dikey hareketini, yatay bir düzlem içindeki harekete göre ihmali edersek iki eksenli bir koordinat sisteminde harekete tesir eden kuvvetler (Şekil-5) deki gibi olacaktır.



(Şekil-5)

Bu şekil bize, arz döndüğünde göre, ortaya çıkan Coriolis Kuvvetin, birim kütledeki bir hava parseline nasıl bir etki yaptığını gösterir. Siklonik dönüş yapan 1000 mb. ve 1010 mb.lik iki izobar arasında akan rüzgârin biri x ekseni üzerindeki U , diğeri y ekseni üzerinde bir bileşenlerine sahip olacığı kolayca görülebilir. $\frac{\partial p}{\partial x}$ ve $\frac{\partial p}{\partial y}$ basınç gradientleridir. Daha önceki hareket denklemleri:

$$F_x = \frac{du}{dt} = - \frac{1}{f} \frac{\partial p}{\partial x}$$

$$F_y = \frac{dv}{dt} = - \frac{1}{f} \frac{\partial p}{\partial y}$$

olarak verilmiştir. Bu formüllere şimdi, Coriolis Kuvveti de dahil etmek gerekektir. Bunun için, rüzgârin V bileşenine etki eden Coriolis Kuvvet, hızla, Coriolis sabite olan (f) nin çarpımına eşit olacak ve bu bileşene dik ve bileşenin sağ tarafında yer alacaktır. (Şekilde F_v). Öte yandan rüzgârin U bileşenine etki eden Coriolis Kuvvette, yine bileşenin sağında, onunla dik açı yapacak bir şekilde (F_u) ile gösterilecek bir kuvvet tarafından temsil edilecektir. (F_u), \vec{x} ekseni üzerinde ve x eksinin (+) yönünde olacağından işaret bakımından pozitiftir. Yani, F_x eşitliğinde yer olması gerekdir. Öbür taraftan U bileşenine tesir eden (F_u) kuvveti \vec{y} ekseni üzerinde, fakat ters yöndedir. Bu yüzden (F_u) nun işaretti negatif olacak ve F_y eşitliğinde yer alacaktır. Buna göre hareket denklemleri :

$$F_x = \frac{du}{dt} = - \frac{1}{f} \frac{\partial p}{\partial x} + fv$$

$$F_y = \frac{dv}{dt} = - \frac{1}{f} \frac{\partial p}{\partial y} - fu \quad (3.13)$$

halini alır.

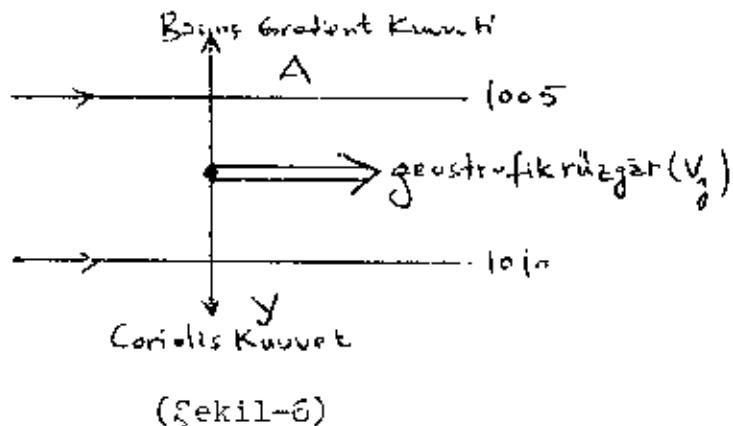
5. Geostrofik Rüzgar Denklemleri :

(3.13) Denklemlerine göre, yatay ivme, basınç gradient kuvveti ile Coriolis Kuvvetin tesirindedir ve gravitasyon (çekim) kuvveti, bu denklemlerde ifade edilmez. Ayrıca sürtünmede göz önüne alınmamıştır.

Sürtünme tabakasının yukarısında, sürtünme tesiri genellikle ihmali edilebilir. Bu takdirde hava parselinin üzerine yalnız Coriolis Kuvvetle, basınç gradient kuvveti tesir eder. Hareketin eğrisel bir yörunge üzerinde (Siklonik veya antisiklonik dönüş) olmadığı hallerde hava düzgün bir akış halinde yoluna devam edecektir. Hareketin hızında da, zamanla bir değişme olmayacağı düşünülürse, bu akışa geostrofik akış adı verilir. Demek oluyor ki, geostrofik bir rüzgar akışında aşağıdaki hipotezlerin tahakkuku istenir :

- i) Akışa sürtünme tesir etmeyecektir.
- ii) Akışın yatay ivmesi sıfır olacaktır.
- iii) Akış düzgün bir hat boyunca yoluna devam edecektir. (Eğrisel yöringedede merkezkaç kuvveti ortaya çıkar).
- iv) Yukardaki şartlar sağlandığı takdirde hava parçasığına tesir eden kuvvetler yalnız Coriolis Kuvvet ve basınç gradient kuvveti olacaktır. Ve bu iki kuvvet büyüklik bakımından birbirine eşit olacaktır.

Buna göre, sürتümelerin ihmali edilebileceği yerde geostrofik rüzgâr aşağıdaki şekil yardımıyla canlandırılabilir.



(Şekil-6)

Geostrofik rüzgârin hızını bulmak için (3.13) denklemlerinden yatay ivmenin $\frac{du}{dx} = 0$, $\frac{dv}{dy} = 0$ olacağını düşünerek :

$$fv_g = \frac{1}{f} \frac{\partial p}{\partial x}$$

$$fu_g = -\frac{1}{f} \frac{\partial p}{\partial y} \quad (3.14) \text{ elde edilir.}$$

Burada : u_g ve v_g geostrofik rüzgârin, \vec{x} ekseni ve \vec{y} ekseni üzerindeki rüzgâr hız bileşenleridir.

Eğer geostrofik rüzgârin bileşke hızı istenirse bu takdirde (3.14) denklemlerinin birleşmesinden

$$fu_g = \frac{1}{f} \frac{\partial p}{\partial y} \quad (3.15) \text{ yazılabilir.}$$

Burada : u_g eostrofik rüzgârin hızı, f : Coriolis sabiti ($f = 2 \Omega \sin \phi$), f : Havanın yoğunluğu, Δp : İki izobarın basınç farkı, Δn : iki izobar arasındaki mesafedir.

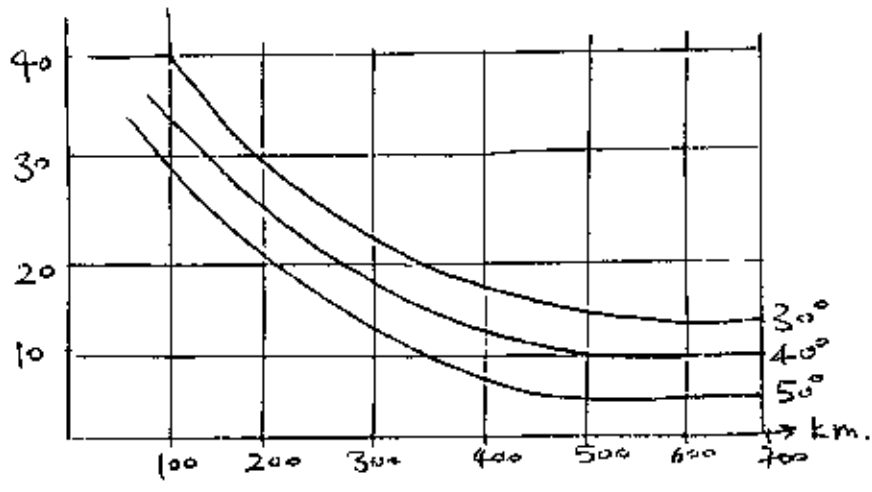
(3.15) Denkleminde U_g çözülmektedir :

$$U_g = \frac{1}{\rho f} \frac{\partial p}{\partial n} \quad (3.16)$$

formülü elde edilir. Bu formül, yer kartında iki izobar arasında esen (izobarlara paralel olarak hareket eden) geostrofik rüzgârin denklemini verecektir. (3.16) daki (f) in Coriolis sabitesi olduğunu biliyoruz. (f , belli bir enlem derecesi için sabittir. Enlem derecesi değişikçe (f) sabitesinin de değişeceğini açıktır.) (f) Sabitesi : $f=2\Omega \sin \phi$ olarak verilmiştir. Burada Ω arzın açısal hızı olup, değeri: $\Omega = 7,27 \times 10^{-5} \text{ rad/sec}$. değerine sahiptir. (3.16) Denklemine göre, geostrofik rüzgâr hızı birçok değişkenlere bağlı olarak değişmektedir. En önemli değişkenin (dn) olduğu söylenebilir. Formüle göre, iki izobar arasındaki mesafe olan (dn) azaldıkça, U_g , geostrofik rüzgâr hızı artar. Bu sık basınç gradientinin bulunduğu yerlerde rüzgârin niçin kuvvetli olması gerektiğini, matematiksel bir izahıdır. Izobarlar arasındaki mesafe arttıkça, rüzgârin da yavaşlayacağı yine (3.16) formülüne göre anlaşılmaktadır.

f Coriolis sabitesine gelince : Bu sabitenin, enlem derecesi olan ϕ ile değişeceğini belirtmiştim. Ekvatorda $\phi = 0$ olduğundan, $\sin \phi = 0$; dolayısıyla $f = 0$; buna karşılık kutupta $\phi = 90^\circ$, $\sin 90^\circ = 1$, $f = \text{max. değerine sahip olacağının}$, f Coriolis sabitesinin ekvatorдан, kutuplara doğru artacağı neticesine varabiliriz. Buna göre, aynı yoğunluğa ve aynı izobar aralığı ile izobar farkına sahip, biri yukarı enlem-

lerde (f büyük), diğerleri aşağı enlemlerde (f küçük) iki rüzgâr ele alsak, yukarı enlemlerdeki rüzgâr hızının, aşağı enlemlere nazaran daha az olacağı hükmüne varırız. Aşağıdaki grafik, geostrafik rüzgâr hızının, enlem derecesi arttıkça nasıl zayıfladığını göstermektedir. Örneğin 4 mb.lık aralarla çizilen bir izobar haritasında 50° enlemde deniz seviyesindeki ($f = 0,00125 \text{ gm/cm}^3$) rüzgâr hızının 18 knots olduğu görülmektedir.



(Şekil-7)

Enlem derecelere ve izobar açıklıklarına göre, geostrafik rüzgâr hızı (knot) izobarların 4 mb.da bir çizildiği ve yoğunluğun deniz seviyesindeki $f = 0,00125 \text{ gm/cm}^3$, $d_n=300 \text{ km}$. olarak verildiği durumlarda grafik olarak kullanılabilir.

Geostrofik rüzgâr hızının yer haritasında, sürtünmenin ihmal edilebilir olduğu bölgelerde, izobarlara paralel olarak, düz bir hat boyunca esen rüzgâr olarak belirtildiğini gördük. Bilindiği gibi, yüksek kartlarda da geostrofik rüzgârin hızı bir skala ile belirtilebilir. Üst seviyelerdeki

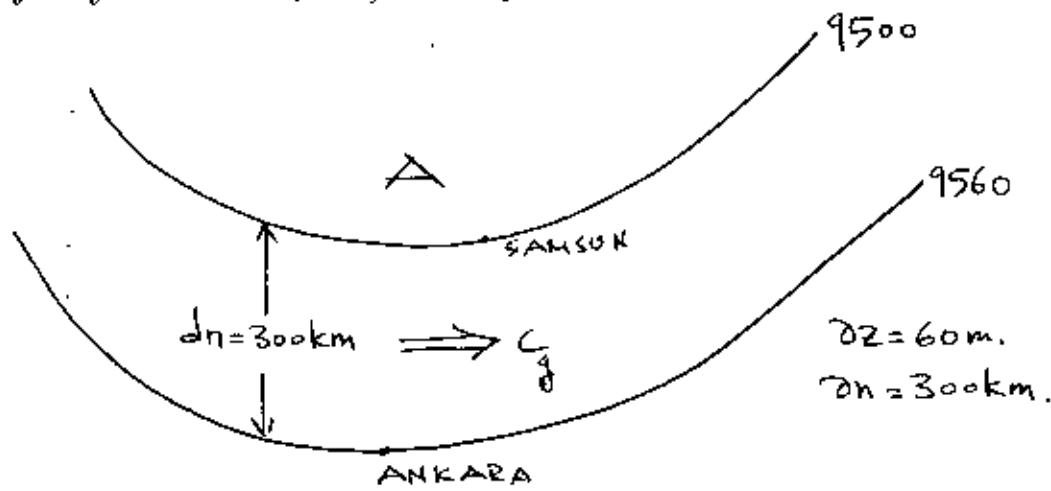
geostrofik rüzgâr hızını hesaplamak için (3.16) formülü ile hidrostatik eşitlik formülünden faydalananabiliriz.

$$U_g = \frac{1}{\rho f} \frac{\partial p}{\partial n} \quad \text{ve } \frac{\partial p}{\partial n} = -g \frac{\partial z}{\partial n} \text{ yardımıyla,}$$

$f = \frac{1}{g} \frac{\partial p}{\partial z}$ bulunur. Bu değer (3.16) da yerine konursa : ve ist seviyedeki geostrofik rüzgâr hızını da (C_g) ile gösterirsek :

$$C_g = \frac{1}{f} g \frac{\partial z}{\partial p} \cdot \frac{\partial p}{\partial n} \quad \text{veya} \quad \left[C_g = \frac{g}{f} \frac{\partial z}{\partial n} \right] \quad (3.17)$$

elde edilir. Burada C_g : Geostrofik rüzgâr hızı, g : yer çekimi sabitesi, f : Coriolis sabite ($f = 2\Omega \sin \phi$) dz : Verilen bir basınç seviyesinde (mesela 300 mb.da) iki istasyonun yerden olan yükseklik farkları, dn : İki istasyon arasındaki yatay mesafe, (bk.Şekil-8)



(Şekil-8)

Şekil 8'e göre, mesela 300 mb. sabit basınç haritasında, Samsun'un geopotansiyel yüksekliği : 9500 metre, Ankara

ra'nın ise, 9560 metre olsun. Ankara-Samsun arasındaki yatay uzaklık da 300 km. olduğuna göre, Ankara ile Samsun arasında esen geostrafik rüzgârin hızını hesaplıyalım:

Verilenlere göre :

$$\Delta z = 9560 - 1500 = 60 = 6000 \text{ cm.}$$

$$\Delta h = 300 \text{ km} = 300 \times 10^5 \text{ cm.}$$

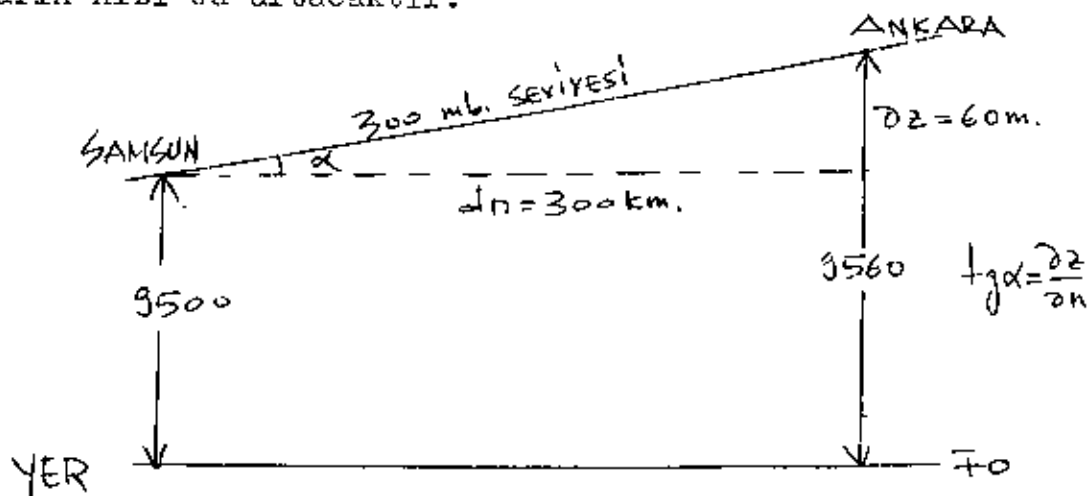
$$g \approx 1000 \text{ cm/s}^2$$

$$f = 2 \pi \sin \phi = 2 \cdot 7,29 \times 10^{-5}, 0,642 = 9,4 \times 10^{-5}$$

(3.17) formülüne göre :

$$C_g = \frac{g}{f} \frac{\Delta z}{\Delta h} = \frac{1000}{9,4 \times 10^{-5}} \cdot \frac{6000}{300 \times 10^5} \approx 20 \text{ m/s} = 40 \text{ knot}$$

(3.17) formülünden de görüleceği gibi, $\frac{\Delta z}{\Delta h}$ asında bir eğimdir. Mübağalalı olarak çizilecek olursa bu eğim (Şekil-9)'dağı gibi gösterilecektir. Eğim arttıkça, geostrafik rüzgârların hızı da artacaktır.

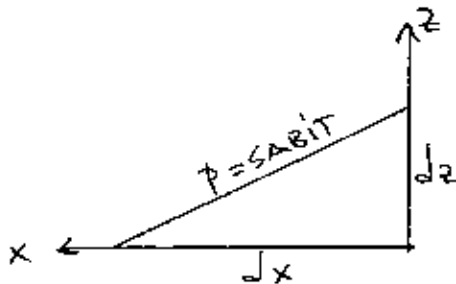


(Şekil-9)

Sabit bir basınç seviyesinde geostrafik rüzgârların (U) ve (V) bileşenleri de ifade edilebilir. Bunun için aşağı-

Şiddaki özellikten faydalananmak gereklidir :

$$\frac{\partial p}{\partial x} \cdot dx + \frac{\partial p}{\partial y} \cdot dy + \frac{\partial p}{\partial z} \cdot dz = 0$$



Herhangi sabit bir kemiyyetin, x, y ve z eksenleri üzerindeki değişimleri sıfıra eşittir. Burada $p = \text{sabit}$ olduğundan $\frac{\partial p}{\partial x} = 0$ olur. Aynı şekilde şekele göre,

$$\frac{\partial p}{\partial y} = 0 \text{ olacaktır.}$$

Böylece yukarıdaki denklemlerden :

$$\frac{\partial p}{\partial x} \cdot dx + \frac{\partial p}{\partial z} \cdot dz = 0 \quad \text{veya} \quad \frac{dz}{dx} = - \frac{\frac{\partial p}{\partial x}}{\frac{\partial p}{\partial z}}$$

elde edilir.

Geostrofik rüzgar denklemlerini kullanarak (3.14)

den :

$$U_g = - \frac{1}{g f} \frac{\partial p}{\partial y}, \quad V_g = \frac{1}{g f} \frac{\partial p}{\partial x} \quad \text{Yazılabilir.}$$

Diğer yandan hidrostatik eşitlikten $\frac{\partial p}{\partial z} = -g$ yazılabilir.

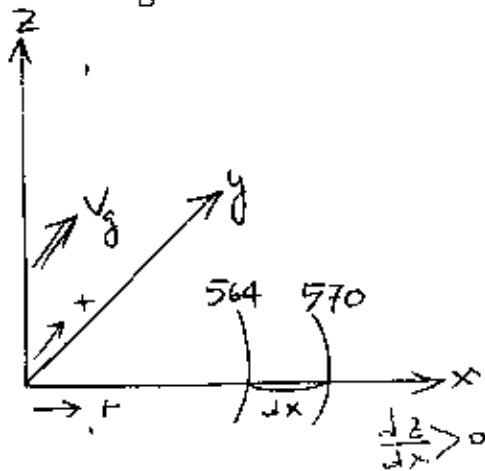
Böylece $\frac{dz}{dx}$ ifadesi teşkil edilirse :

$$\frac{dz}{dx} = - \frac{V_g g f}{-g f} = \frac{f V_g}{g} \quad \text{veya} \quad \left[V_g = \frac{g}{f} \frac{dz}{dx} \right]$$

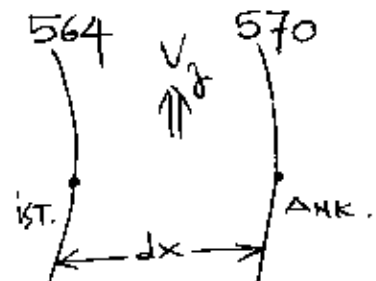
aynı şekilde de : $\left[U_g = - \frac{g}{f} \frac{dz}{dy} \right] \quad (3.18) \text{ elde edilir.}$

(3.18) Denklemleri, sabit basınç seviyesinde geostrofik rüzgar hızının U ve V bileşenleri için kullanılmaktadır. Dikkat edilirse, bu denklemlerde yoğunluk ifadesi mevcut değildir.

Burada, v_g , rüzgârin y üzerindeki bileşenidir. dz , 2 İstasyonun yükseklik farkıdır.

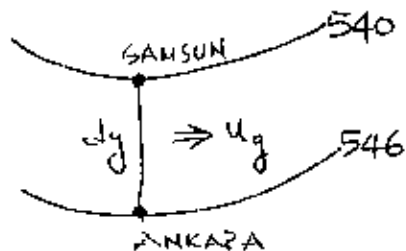
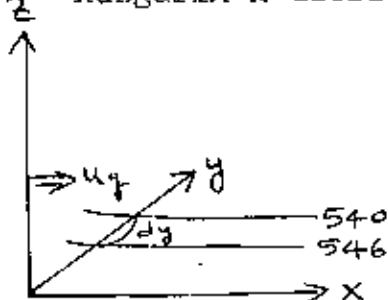


dx ise, bu iki istasyonun arasındaki yatay uzaklığıdır.



v_g (3.18) Denklemlerine göre pozitifdir. Çünkü, x yönünde artma olduğu zaman, dz değerinde de artma şarttır. Bu şart saklandığı zaman rüzgâr y yönünde esecektir, başka bir deyişle soldan sağa doğru kontur kıymetleri artıyorsa ($\frac{dz}{dx} > 0$) geostrofik rüzgârin yönü daima güneyli olacaktır.

Rüzgârı x üzerindeki bileşenine gelince :



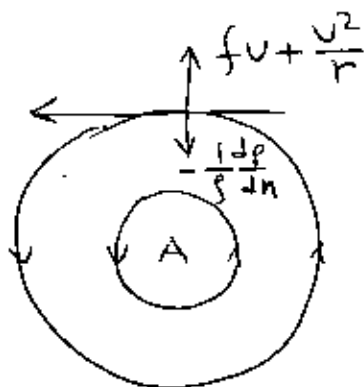
Mesela, Ankara-Samsun arasında güneyden kuzeye doğru bir (dy) mesafesi var, bu mesafe boyunca, dz değerleri artmayıp azalmaktadır. Şekilden de görüldüğü gibi, 546'lık değerden, 540 değerine bir düşüş görülmektedir. (y) Ekseninin (+) önündeki dz değeri azaldığından, eşitliğin başını negatif işaret konmuştur ve bu durumda da rüzgâr daima batıdan esecektir.

$$\frac{dz}{dy} < 0 \quad u_g (+) \text{ batılı.}$$

Gradient Rüzgâr :

Gradient rüzgâr, eğrisel bir yörünge üzerinde hareket eden rüzgâra denir. Böyle bir rüzgârdâ geostrofik rüzgârdan farklı olarak bir "merkezkaç" kuvvet ortaya çıkar. Bu nedenle, basınç gradient $\frac{\partial p}{\partial n}$, Coriolis Kuvvet ve merkezkaç kuvvetinin tesiri altında kalan hava, siklonik veya antisiklonik bir yörünge üzerinde hareket ederek yoluna devam eder.

Siklonik bir yörüngede hareket eden bir hava parseline aşağıdaki şekilde de görülebileceği gibi kuvvetlerin etkisi şöyledir:



(Şekil:10)

Burada $-\frac{1}{f} \frac{\partial p}{\partial n}$ basınç gradient kuvveti olup, her zamanki gibi yine yüksek basınçtan, alçak basınçta doğru yönelmiştir. (fv), hareketin sağına tesir eden Coriolis Kuvvettir. $\frac{v^2}{r}$ ise, birim kütledeki ($m=1 \text{ gm.}$) hava için merkezkaç kuvvettir. (r : yarıçap)

Siklonik (alçak) bir dönüş için bu kuvvetler :

$$fv + \frac{v^2}{r} = - \frac{1}{f} \frac{\partial p}{\partial n}$$

şeklinde dengededir. Burada v , gradient rüzgarın hızı olarak verilir.

$$fv r + v^2 = - \frac{r}{f} \frac{\partial p}{\partial n}$$

$$v^2 + fv r + \frac{r}{f} \frac{\partial p}{\partial n} = 0$$

Yukarıdaki denklem $ax^2 + bx + c = 0$ gibi verilen 2.dereceden bir denklem olup, v hızının çözümü : ($\frac{\partial p}{\partial n}$ -lılı için $v=0$ olduğu dırınlıklerek:)

$$v = - \frac{fr}{2} + \sqrt{\frac{f^2 r^2}{4} + \frac{r}{f} \frac{\partial p}{\partial n}}$$

olarak bulunabilir. Bu denkleme karekök içindeki ifadelerin hepsi pozitiftir. Böylece, alçak bir basınç etrafında kuzey yarı kürede siklonik bir dönüş yapan rüzgarın bir üst limit hızı yoktur.

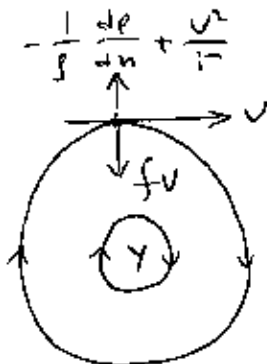
(f) 'nin çok küçük olduğu aşağı enlemlerde :

$$v = \sqrt{\frac{r}{f} \frac{\partial p}{\partial n}} \quad \text{veya,}$$

$$v^2 = \frac{r}{f} \frac{\partial p}{\partial n}, \quad \frac{v^2}{r} = \frac{1}{f} \frac{\partial p}{\partial n}$$

eşitliği sağlanır. Bu durumda "siklostrofik rüzgar" adı verilir ve tornodo ile harrikeynlordc ve hortumlarda görülür.

Gradient rüzgarın, antisiklonik bir dönüş için hareket denklemlerinin çözümü :



(Şekil-11)

(3.19) Denkleminde olduğu gibidir.

2nci dereceden olan bu denklemin çözümü :

$$v = \frac{fr}{z} - \sqrt{\frac{f^2 r^2}{4} - \frac{r}{f} \frac{dp}{dz}} \quad (3.19)$$

ifadesini verecektir.

(3.19) denklerine göre, antisiklonik dönüş yapan bir harkette, hızın erişebileceği bir max. değer vardır. (3.19)un max. olması için, karekök içindeki ifadenin sıfıra eşit olması gereklidir. Bunun için :

$$\frac{f^2 r^2}{4} = \frac{r}{f} \frac{dp}{dz} \quad \text{sartı sağlanmalıdır.}$$

$$\text{Buradan : } \frac{r}{dp/dz} = \frac{f^2 r^2}{4} \quad (3.20) \text{ elde edilir.}$$

Buna göre, antisiklonik bir dönüşte, veya yüksek basınçta, basınç gradienti ($\frac{dp}{dz}$) öyle bir $\frac{f^2 r^2}{4}$ sabitesine erişirken, bu halde, rüzgar hızı en büyük değeri kazanır.

(3.20)'de $f = \frac{P}{RT}$ eşitliği yerine konursa;

$$\frac{dp}{\Delta h} = \frac{P}{RT} \frac{f^2 r^2}{4} \quad (3.21) \text{ bulunur.}$$

Burada, f hariç, diğerlerinin sabit kaldığını düşünürsek, f 'nin artan değerlerine karşılık (kutuplara çıkıldıkça), $\left(\frac{dp}{\Delta h}\right)$ basınç gradienti artacak, yani iki izobar arasındaki mesafe küçülecektir.

(3.21)'e göre, aynı enlem derecesinde ve aynı basınç değerine sahip ($P=R=f=r= \text{sabit}$) iki yüksek basınçtan birinin değerine göre sıcaklığı farklı ise, (meselâ, soğuk yüksek basınçla, sıcak yüksek basınç gibi) bu takdirde $\frac{dp}{\Delta h}$ basınç gradienti de değişmiş olacaktır. Örneğin, soğuk yüksek basınçlardaki (meselâ, Sibirya yüksek basıncı) izobar aralıkları, sıcak yüksek basınçlardaki (meselâ, azor yüksek basıncı) izobar aralıklarından daha küçüktür.

Bu bize önemli bir netice verir, öyle ki, üst seviye haritalarına bakmadan, izobar sıcaklığını veya genişliğine göre, bir yüksek basıncın soğuk veya sıcak nüveli olduğunu anlıyabiliyoruz.

Yine (3.19) ifadesine göre, ekvatorda veya ekvatora yakın bölgelerde $\phi = 0$, $\sin \phi = 1$ olacağından $f=0$ olacaktır. Bu takdirde, (3.19) denklemi :

$$V = \sqrt{-\frac{r}{f} \frac{dp}{\Delta h}} \quad \text{şeklinde yazılabilir.}$$

Bu hızın imaginer (Sanal=hayali) olduğunu göstermektedir. Buna göre, aşağıdaki neticeyi de çıkarabiliriz. Diyebiliriz ki, ekvatora yakın bölgelerde, kapalı yüksek basınç merkezleri teşekkül edemez.

8. Kalınlık Denklemi, Thermal Rüzgarları :

1.25 ifadesini tekrar hatırlarsak, verilen bir tabakanın kalınlığını bulmak için, tabakanın basınç ve tabakanın ortalama sıcaklığını, burada önemli idi.

$$\frac{dp}{dz} = -g \quad \text{veya}, \quad \frac{dp}{dz} = -g \frac{P}{RT} \quad \text{bulunur.}$$

$$\text{Buradan } \int_{P_0}^P \frac{dp}{P} = -g \int_{z_0}^z \frac{dz}{RT} \quad \text{elde edilir.}$$

(1.25) ifadesi ile (3.20) ifadesi aynıdır. Bu denklem (thickness) kalınlık denklemi adı verilir. Bu denklem de kolayca görüldüğü gibi, R ve g birer sabittir. T: Tabakanın ortalama sıcaklığını, P₀: tabanı; P:tavan basıncını göstermektedir.

$$\left[\log_e P \right]_P^{P_0} = - \frac{g}{RT} \left[z \right]_{z_0}^z ; \quad \log_e P_0 - \log_e P = - \frac{g}{RT} (z_0 - z)$$

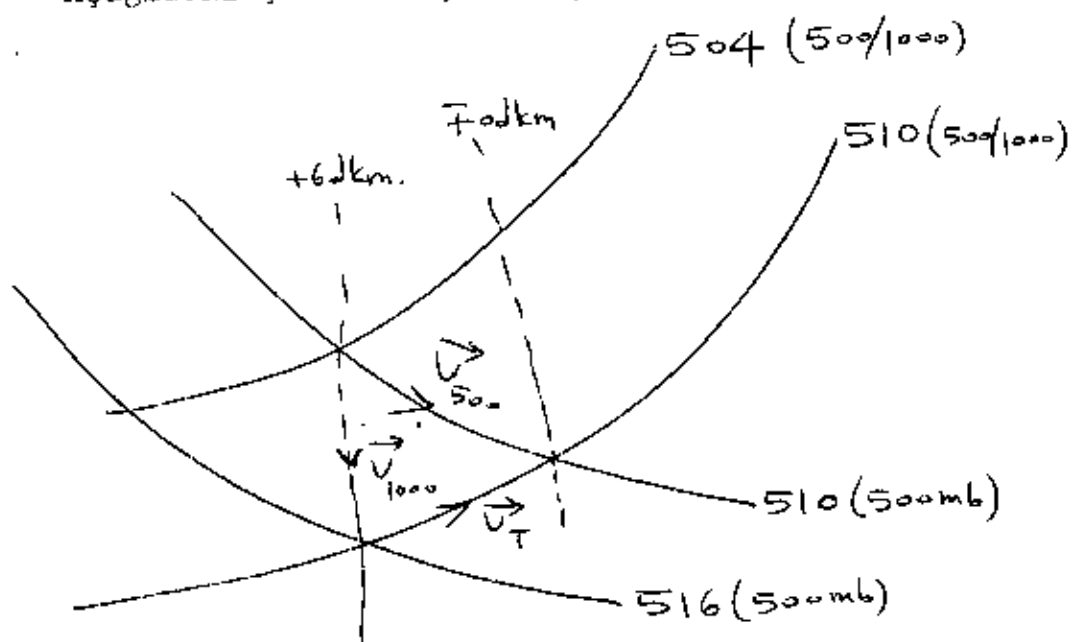
$$- (z_0 - z) = \frac{RT}{g} \log_e \frac{P_0}{P} ; \quad dz = z - z_0 = \frac{RT}{g} \log_e \frac{P_0}{P} \quad (3.20)$$

(3.20) Denklemini 1000 mb. - 500 mb. seviyeleri arasındaki kalınlığına tatbik edersek P₀=1000 mb., P=500 mb. değerleri de daima sabit kalsınından, denklemdeki tek değişken sadece tabakanın sıcaklık ortalaması olan T olacaktır. T arttıkça Z - z₀ lz kalınlığı artacak, T azaldıkça da dz küçülecektir.

Kalınlık değeri, 1000 mb. ile 500 mb. arasındaki sıcaklığın bir ifadesi olduğuna göre, pratik meteorolojide de ayrı bir önem kazanır. Cephelerin yerleştirilmesi, soğuk damlaların bulunduğu gibi, istidlâl tekniği yönünden, kalınlık haritaları pek sık kullanılır.

Kalınlık haritasındaki rüzgârlar, 500 mb. seviyesindeki rüzgârin, 1000 mb. seviyesindeki rüzgârdan vektörel olarak çıkarılması sonucu elde edilir.

Aşağıdaki şekil bu çıkarmaya bir örnek olabilir:

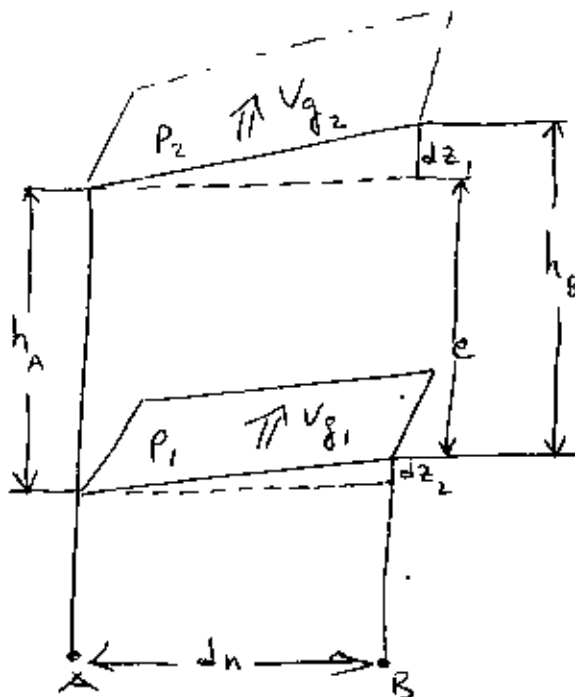


(Şekil-11)

$\vec{V}_T = \vec{V}_{500} - \vec{V}_{1000}$ ifadesi, thermal rüzgârin büyüklüğünü ve yönünü vermektedir. \vec{V}_T : Thermal rüzgârin hızı, \vec{V}_{500} : 500 mb.daki geostrofik rüzgârin hızı, \vec{V}_{1000} : 1000 mb.daki geostrofik rüzgârin hızıdır.

Şimdi thermal denklemlerine geçebiliriz.

Thermal rüzgâr denklemi çeşitli yollardan elde edilebilir. Biz, burada önce basit bir yolla thermal rüzgârin nasıl bulunacağını göreceğiz, bunun için aşağıdaki şekil incelenebilir:



(Şekil-12)

Ele alınan A ve B istasyonlarının üzerinde P_1 ve P_2 sabit basınçlarının ifade edeceği iki düzlemler bulunsun. Bu düzlemler, meselâ : $P_1 = 700$ mb. seviyesi $P_2 = 500$ mb. seviyesi olabilirler. Her iki düzlemin de yukarıya doğru olan eğilimlerinden anlıyor γ_2 ki, B istasyonundan, A istasyonuna doğru, kontur değerlerinden bir düşme olacağından soğuk havâ A istasyonu üzerindedir. P_2 basınç yüzeyinin eğimi, P_1 'e nazaran daha büyük olduğundan, bu seviyedeki sıcaklık izoterm gradientleri daha da sıktır. Dolayısıyla $v_{\gamma_2} > v_{\gamma_1}$ yazılabilir.

Thermal rüzgâr iki basınç seviyelerindeki geostrofik rüzgârin farkından nüfus adileceğine göre, burada P_1 ve P_2 basınç düzlemlerindeki geostrofik rüzgârları yazarsa ve birbirinden çıkartırsak, thermal rüzgârı elde etmiş oluruz.

$$\text{Üst seviyedeki } (P_2) \text{ geostrofik rüzgâr : } V_g = \frac{g}{f} \frac{\Delta z_2}{\Delta h} \quad (3.21)$$

$$\text{Alt seviyedeki } (P_1) \text{ geostrofik rüzgâr : } V_g = \frac{g}{f} \frac{\Delta z_1}{\Delta h} \quad (3.22)$$

$$V_{th} = V_g - V_g = \frac{g}{f} \frac{\Delta z_1}{\Delta h} - \frac{g}{f} \frac{\Delta z_2}{\Delta h}$$

$$\left[V_{th} = \frac{g}{f} \frac{\Delta z_1 - \Delta z_2}{\Delta h} \right] \quad (3.23)$$

Diger yandan çekile göre :

$$h_A = \Delta z_2 + e \quad \text{ve} \quad h_B = \Delta z_1 + e \quad \text{yazılabilir böylece :}$$

$$h_B - h_A = (\Delta z_1 + e) - (\Delta z_2 + e) = \Delta z_1 + e - \Delta z_2 - e = \Delta z_1 - \Delta z_2$$

$$\text{veya } h_B - h_A = \Delta z_1 - \Delta z_2 \quad \text{yazılabilir.}$$

(3.23) denklemi tekrar yazılırsa :

$$\left[V_{th} = \frac{g}{f} \frac{h_B - h_A}{\Delta h} \right] \quad (3.24) \text{ elde edilir.}$$

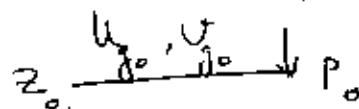
(3.24) ifadesi, thermal rüzgârı verir. Denkleme göre, $h_B = h_A$ olduğunda thermal rüzgâr sıfır olacaktır. Bu ife, şekle göre imkânsızdır, h_B, h_A 'dan nekade birlikte (bu, aynı zamanda P_2 seviyesi nüfusun çok büyük olduğunu gösterir) thermal rüzgârin hızı o kadar büyük olacaktır. h_B büyük olunca da P_1 düzlemindeki rüzgâr hızı da artacaktır, otomatik olarak V_{th} 'nin hızında da artış görülecektir.

Thermal rüzgâr, ele alınan tabakanın ortalama sıcaklığı ile orantılıdır. Bu orantı (3.24) denkleminde açık olarak görülmektedir. Gerçek düzlemlerin eğikliği, sıcaklıkla orantılı olduğu bilinmektedir. Fakat daha açık bir ifade bulunabilir. Ögle ki, bulunacak ifade, rüzgârin x ve y yönlerindeki hız bileşenlerini de ihtiva etmiş olsun.

Şimdi thermal rüzgâr denklemlerini, geostrofik rüzgârin U ve V hız bileşenleri cinsinden hesaplayalım. Geostrofik rüzgâr denklemi :

$$U_g = - \frac{g}{f} \frac{\partial z}{\partial y}$$

$$V_g = \frac{g}{f} \frac{\partial z}{\partial x}$$



olarak verilmişti. İki seviye ele alır ve her seviyedeki geostrofik rüzgârı birbirinden çıkarırsak, thermal rüzgâr denklemini elde etmiş oluruz.

$$du_g = U_{g1} - U_{g2} = - \frac{g}{f} \left(\frac{\partial z_1}{\partial y} - \frac{\partial z_0}{\partial y} \right) = - \frac{g}{f} \frac{\partial}{\partial y} (z_1 - z_0)$$

$$dv_g = V_{g1} - V_{g0} = \frac{g}{f} \left(\frac{\partial z_1}{\partial x} - \frac{\partial z_0}{\partial x} \right) = \frac{g}{f} \frac{\partial}{\partial x} (z_1 - z_0)$$

Buradan $z_1 - z_0 = dz$ kalınlık değerini yazarsak:

$$du_g = U_{g1} - U_{g0} = - \frac{g}{f} \frac{\partial}{\partial y} (dz) \quad (3.25)$$

$$dv_g = V_{g1} - V_{g0} = \frac{g}{f} \frac{\partial}{\partial x} (dz) \quad \text{bulunmuş olur.}$$

diğer yandan (3.20) ifadesine göre, kalınlık değeri :

$$dZ = \frac{RT}{g} \log \frac{P_0}{P} \quad (3.20) \text{ olarak verilmiştir.}$$

(3.20) ifadesini, (3.25) denkleminde yerine koyarsak :

$$dU_g = U_{g1} - U_{g0} = - \frac{f}{f} \frac{\partial}{\partial y} \left(\frac{RT}{g} \log \frac{P_0}{P} \right) = - \frac{R}{f} \log \frac{P_0}{P} \frac{\partial T}{\partial y} \quad (3.26)$$

$$dV_g = V_{g1} - V_{g0} = \frac{f}{f} \frac{\partial}{\partial x} \left(\frac{RT}{g} \log \frac{P_0}{P} \right) = \frac{R}{f} \log \frac{P_0}{P} \frac{\partial T}{\partial x}$$

denklemleri bulunur.

$$\frac{dU_g}{dz} \text{ ve } \frac{dV_g}{dz} \text{ teşkil edilecek olursa :}$$

$$\frac{dU_g}{dz} = \frac{- \frac{R}{f} \log \frac{P_0}{P_1} \frac{\partial T}{\partial y}}{\frac{RT}{g} \log \frac{P_0}{P_1}} = - \frac{gT}{fT} \frac{\partial T}{\partial y}$$

$$\frac{dV_g}{dz} = \frac{\frac{R}{f} \log \frac{P_0}{P_1} \frac{\partial T}{\partial x}}{\frac{RT}{g} \log \frac{P_0}{P_1}} = \frac{gT}{fT} \frac{\partial T}{\partial x}$$

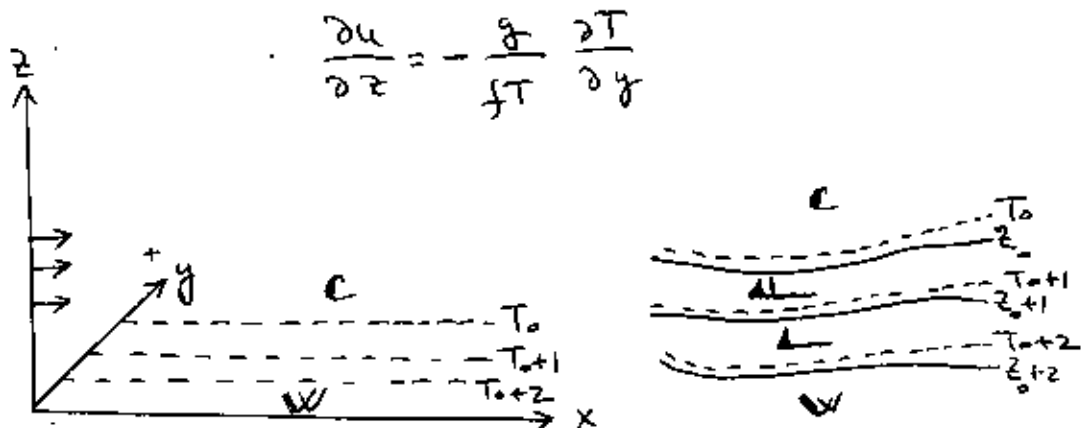
Buradanda :

$$\frac{dU_g}{dz} = - \frac{gT}{fT} \frac{\partial T}{\partial y} \text{ ve } \frac{dV_g}{dz} = \frac{gT}{fT} \frac{\partial T}{\partial x} \quad (3.27)$$

denklemleri elde edilir. Bu denklemler thermal rüzgarın \vec{x} ve \vec{y} eksenleri üzerindeki bileşenleridir.

9. Thermal Rüzgarların Tatbikatları :

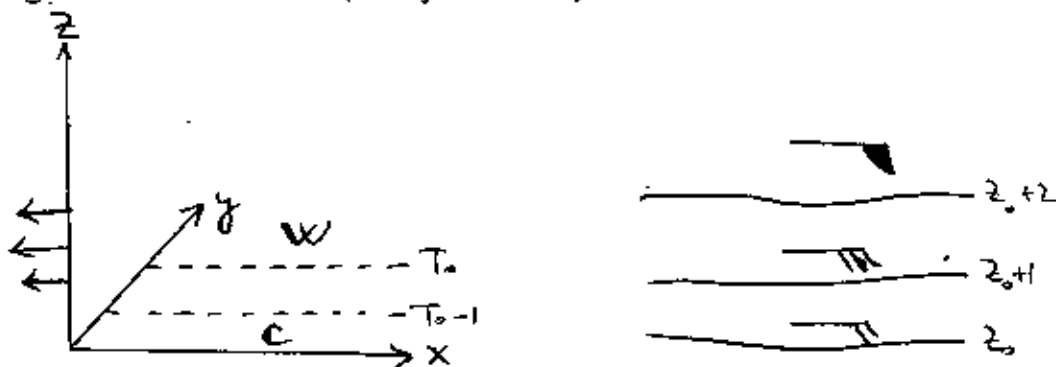
Termal rüzgar denklemlerini, U ve V bileşenlerine göre tekrar yazılı bu denklemlerin vereceği neticeleri, Sinoptik yönünden giderek inceliyelim :



(Şekil-13)

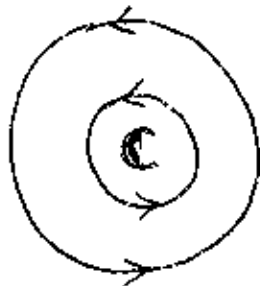
Şekil- 13'e göre, herhangi bir bölgede sıcaklık y istikamétinin (+) yönünde, yani güneyden kuzeye doğru azalıyorsa, (Ekvator'dan kutuplara doğru) bu nöktedirde rüzgârlar batılıdır. Bu hükmü orta enlem derecelerinde, niçin daha ziyade batılı akışların görüldüğünü de kolaylıkla izah eder. Ele alınan herhangi bir yüksek hava haritasında, akışlar batılı ise, sıcaklık daima kuzeye çıkışlııkça azalıcaktır.

(3.28) denklemine göre, eğer $\frac{\partial T}{\partial y} > 0$ (pozitif ise de) yani, sıcaklık bu defa y ekseni boyunca artıyorsa, rüzgâr doğulu olacaktır. (bk. Şekil 14)



(Şekil 14)

Heriki şekilde de anlaşırlacağı gibi, soğuk hava akışlara göre daima sola kalmıştır. Kalınlık kartında görülen bir soğuk damla (bk.şekil 15) bunun en iyi bir misalidir. Netice olarak sağ el kaidesini kuilanarak (aynı fizikte olduğu gibi) rüzgâr yönünü bulabiliyoruz.



(şekil-15)

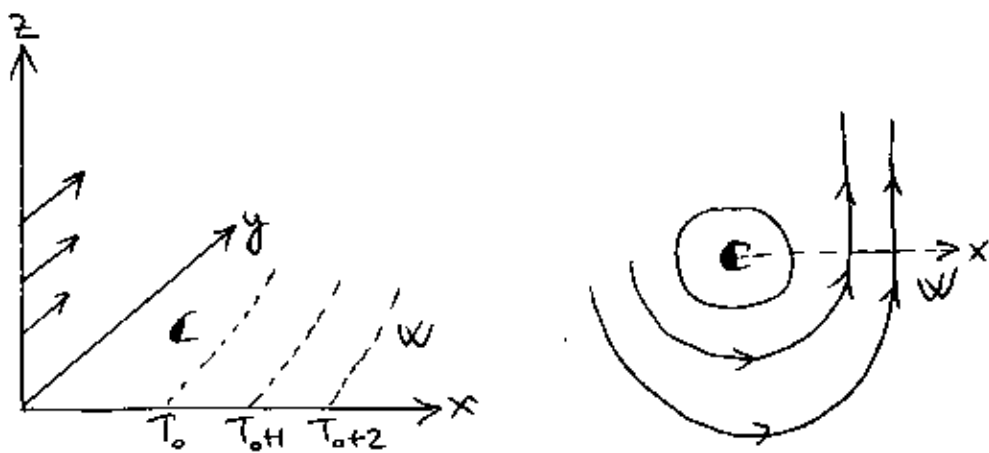
Eğer sağ elin baş parmağı soğuk havayı gösterirse diğer dört parmak rüzgâr akımını gösterecektir veya dört parmak rüzgâr akış yönünü gösterirse baş parmak muhakkak soğuk havayı gösterecektir.

Genel olarak, sıcaklık ekvatorдан kutuplara çıkıldıkça azaldığı için, akışlar genellikle batılı olacak ve bu akışlara uygun merkezler veya deprasyonlar da batıdan doğuya doğru hareket etmek temayınlıde olacaklardır.

Thermal rüzgârin V bileşenini de yazacak olursak :

$$\frac{\partial V}{\partial z} = \frac{g}{fT} \frac{\partial T}{\partial x} \quad (3.29)$$

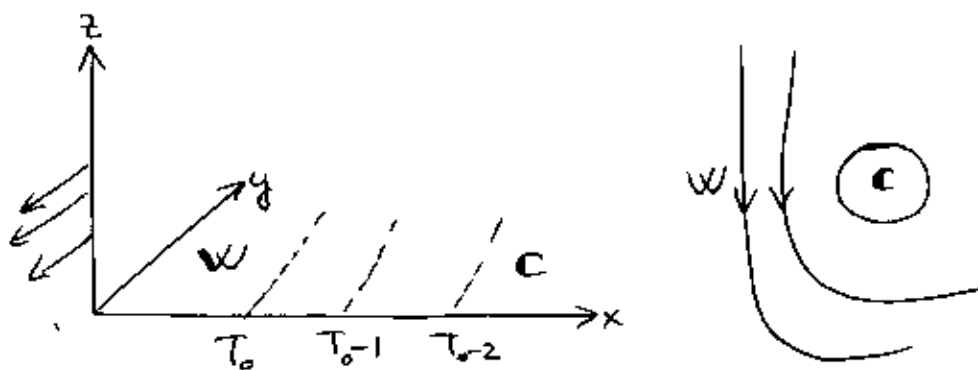
burada, $\frac{\partial T}{\partial x} > 0$ olursa, yani sıcaklık x ekseniin (+yönünde doğuya doğru) artarsa, rüzgârin daima tek bir hız bileşeni vardır, bu bileşen de (V) dir. Yani y ekseniye paralel bileşendir. y ekseniye paralel bileşen de güneyli rüzgârlardır. (bk.şekil-15)



(Şekil-15)

(3.29)'a göre, sıcaklık x ekseninin (+) yönünde azalırsa, bu takdirde rüzgâr akışları kuzeyli olacaktır. Başka bir deyişle $\frac{\partial T}{\partial x} < 0$ ise, rüzgâr kuzeylidir. (bk. şekil 16)

İki sabit basınç seviyesi için, mesela 700 mb ise, 500 mb için thermal rüzgârin nasıl hesaplanacağını görelim. Eğer bu iki seviyedeki geostrofik rüzgârlar, aynı yönde esmiyorlarsa, bu takdirde konturmarla, izotermler birbirini kesiyorlar demektir.



(Şekil 16)

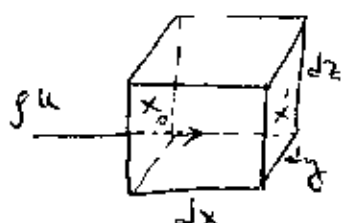
Thermal rüzgârlar yardımıyla, troposferde ve stratosferdeki rüzgâr dolaşımının izahını da yapabiliriz.

Genel olarak troposfer, kutupta soğuk, ekvatorda ise sıcaktır. Yani troposfer içinde sıcaklık, güneyden kuzeye doğru azalmaktadır. Bu nedenle troposferde rüzgar akışları daha önce de izah ettiğimiz gibi batılı olup, tropopoz seviyesine kadar rüzgar hızlarında bir artış görülür. (Genel olarak jet streamin tropopoz seviyesinde bulunmasının sebebi de budur.) Buna karşılık, tropopozun hemen üstünde, stratosferin alt tabakalarında, güney enlemler kuzey enlemlere nazaran daha soğuktur. (Çünkü, ekvatorda tropopoz seviyesi yüksek olduğundan burada sıcaklık daha düşüktür.) Bu nedenle alt stratosferde, güneyden kuzeye sıcaklıkta bir artış göze çarpar. $\frac{\partial T}{\partial z} > 0$ (pozitif olduğundan) rüzgar, thermal rüzgarı denklemlerine göre doğulu olacaktır. Örneğin yaz aylarında 60.000 ft. yukarıdaki seviyelerde doğulu rüzgârlara sık sık rastlarız.

10. Devamlılık Denklemleri. (Equation of Continuity):

Devamlılık denklemi, ele alınan bir akışkanın veya bir gazın, verilen birin hacimdeki bir küpe içiçi ve çıkışı sırasında, akışkan kütlesinin, zamana göre değişip değimeyeceğini inceler. Bu denklem, aynı zamanda dinamik meteorolojide pek sık kullanılan konveksans ve divergens'ın da temel tarifini verir.

1 cm^3 hacimdeki küçük bir kutu düşünelim. Bu kutuya giren akışkanın hızı, U , yoğunluğu da ρ olsun.



Xo yüzeyine giren sıvının veya gazın herhangi bir andaki kütlesi, evvela akışkanın bu küpe girerken haiz olacağı hız (U) ile orantılıdır. Kütle ise

hacim bir'e eşit olduğundan, doğrudan doğruya yoğunluğa (ρ) 'nun değerine eşit olacaktır. Bu nedenle X_0 yüzeyine giren sıvının kütlesi = ρu , X' yüzeyinden çıkan sıvının kütlesi = $\rho u + \frac{\partial \rho u}{\partial x}$ olacaktır. Herhangi bir an için, Δx giren kitle ile, küpten çıkan kitle eşit olabilir. Ancak X_0 yüzeyinden devamlı olarak içeri giren akışkan X' yüzeyinden çıkışken, akışkanın hızı ve yoğunluluğunun bir Δx mesafesini geçinceye kadar kazanacağı ilâve bir kütle $(\frac{\partial \rho u}{\partial x})$ ye daha sapık olacaktır. Bu sebeple X' yüzeyinden çıkan sıvının kütlesi $(\rho u + \frac{\partial \rho u}{\partial x})$ şeklinde gösterilebilir. Buna göre, net akış miktarı, giren sıvının kütlesinden çıkan sıvının kütlesine çıkarmakla bulunacaktır.

Giren akışkan (X_0) - çıkan akışkan (X') = net miktar.

$$\rho u - (\rho u + \frac{\partial \rho u}{\partial x}) = - \frac{\partial \rho u}{\partial x}$$

net akışkan miktarının negatif olması küpten çıkan miktarın, giren miktara göre, daha az olduğunu göstermektedir.

Net miktarın $(-\frac{\partial \rho u}{\partial x})$ şeklinde gösterilmesi, küpün yalnız X yönüne ve X yönündeki (U) hızına göredir. Küpün y ve z yönlerindeki (V) ve (W) hızları da düşünülecek olursa :

$$y \text{ ekseni üzerindeki net miktar: } - \frac{\partial \rho v}{\partial y}$$

$$z \quad " \quad " \quad " \quad " : \quad - \frac{\partial \rho w}{\partial z}$$

olacaktır.

Bütün bunları toplarsak :

$$-\left(\frac{\partial \rho u}{\partial x} + \frac{\partial \rho v}{\partial y} + \frac{\partial \rho w}{\partial z}\right) \quad \text{ifadesi elde edilmiş olur.}$$

Bu ifadenin başka bir ifadeye eşit olması gerekmektedir. Eğer sıvının yoğunluğu, ρ ise ve sıvının yoğunluğu değişiyorsa, son ifade :

$$-\left(\frac{\partial \rho u}{\partial x} + \frac{\partial \rho v}{\partial y} + \frac{\partial \rho w}{\partial z}\right) = \frac{\partial \rho}{\partial t} \quad (3.30)$$

şeklinde yazılımalıdır. (3.30) ifadesi aşağıdaki şekli alır:

$$\frac{\partial \rho}{\partial t} + \frac{\partial}{\partial x} (\rho u) + \frac{\partial}{\partial y} (\rho v) + \frac{\partial}{\partial z} (\rho w) = 0 \quad (3.31)$$

$$\frac{d\rho}{dt} = u \frac{\partial \rho}{\partial x} + v \frac{\partial \rho}{\partial y} + w \frac{\partial \rho}{\partial z} + \frac{\partial \rho}{\partial t}$$

Bu ifadeleri birleştirirsek aşağıdaki gibi yazmak mümkündür:

(3.30)un sol tarafı sağ tarafa geçirilirse :

$$\frac{\partial \rho}{\partial t} + u \frac{\partial \rho}{\partial x} + v \frac{\partial \rho}{\partial y} + w \frac{\partial \rho}{\partial z} = 0$$

$$\frac{\partial \rho}{\partial t} + \rho \frac{\partial u}{\partial x} + \rho \frac{\partial v}{\partial y} + \rho \frac{\partial w}{\partial z} + u \frac{\partial \rho}{\partial x} + v \frac{\partial \rho}{\partial y} + w \frac{\partial \rho}{\partial z} = 0$$

$$\frac{\partial \rho}{\partial t} + \rho \left[\frac{\partial u}{\partial x} + \frac{\partial v}{\partial y} + \frac{\partial w}{\partial z} \right] + u \frac{\partial \rho}{\partial x} + v \frac{\partial \rho}{\partial y} + w \frac{\partial \rho}{\partial z} = 0$$

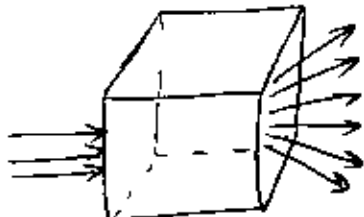
$$\rho \left[\frac{\partial u}{\partial x} + \frac{\partial v}{\partial y} + \frac{\partial w}{\partial z} \right] + \frac{d\rho}{dt} = 0 ; \quad \frac{\partial u}{\partial x} + \frac{\partial v}{\partial y} + \frac{\partial w}{\partial z} = -\frac{1}{\rho} \frac{d\rho}{dt}$$

$$-\frac{1}{\rho} \frac{d\rho}{dt} = \frac{\partial u}{\partial x} + \frac{\partial v}{\partial y} + \frac{\partial w}{\partial z} \quad (3.32)$$

(3.32) denklemi, yoğunluğu değişen bir sıvı için veya en geniş tarifi ile herhangi bir akışkan için devamlılık denklemidir. Bu denklemenin sağ tarafındaki $\frac{\partial u}{\partial x}, \frac{\partial v}{\partial y}, \frac{\partial w}{\partial z}$ terimleri, "divergans" olarak isimlendirilir.

Eğer küpe giren sıvı, küp içinde bir hız artmasına maruz kalırsa meselâ x ekseni üzerindeki hız (U) da bir artış görülürse $\frac{\partial U}{\partial x} > 0$ (pozitif ise) bu takdirde akışkan dan divergans vardır denir. Başka bir delegele divergans küpten çıkan akışkan miktarından fazla olursa, vuk'u bulur.

(bk.Şekil-17) Bu takdirde (3.32) ifadesindeki gibi, eşitliğin sağ tarafındaki terimlerin hepsi (+) değerinde olacaktır. Yani :



$$\frac{\partial u}{\partial x} > 0, \frac{\partial v}{\partial y} > 0, \frac{\partial w}{\partial z} > 0$$

şartı sağlanacaktır.

(Şekil-17)

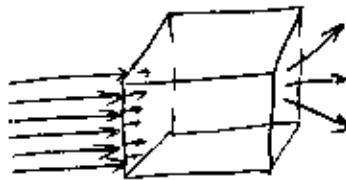
(3.32)'ye göre eşitliğin sağ tarafındaki terimler (+) olunca, sol taraf (-) dir. Negatif işaretin manası yoğunluğun küp içinde zamanla azalacağını ifade etmektedir.

Konvergans vuk'uunda ise, küp içindeki sıvının yoğunluğu zamanla artacaktır. ($\frac{df}{dt} > 0$). (3.32)'ye göre eşitliğin sol tarafını pozitif yaparsak sağ taraf ($-$) olacaktır ; (3.32) ifadesini $\frac{df}{dt} = - \left(\frac{\partial u}{\partial x} + \frac{\partial v}{\partial y} + \frac{\partial w}{\partial z} \right)$ (3.33) şeklini alacaktır.

$$\text{Şu halde konvenjansda } \frac{\partial u}{\partial x} < 0, \frac{\partial v}{\partial y} < 0, \frac{\partial w}{\partial z} < 0$$

şartı sağlanmış olacaktır. Bu bize, küpe giren akışkanın, çıkan akışkan miktarından daha fazla olduğunu ifade eder.

Şu halde konverjansta $\frac{\partial u}{\partial x} < 0, \frac{\partial v}{\partial y} < 0, \frac{\partial w}{\partial z} < 0$ bileşenleri, (3.33) ifadesi gibi yazılabilmektedir.



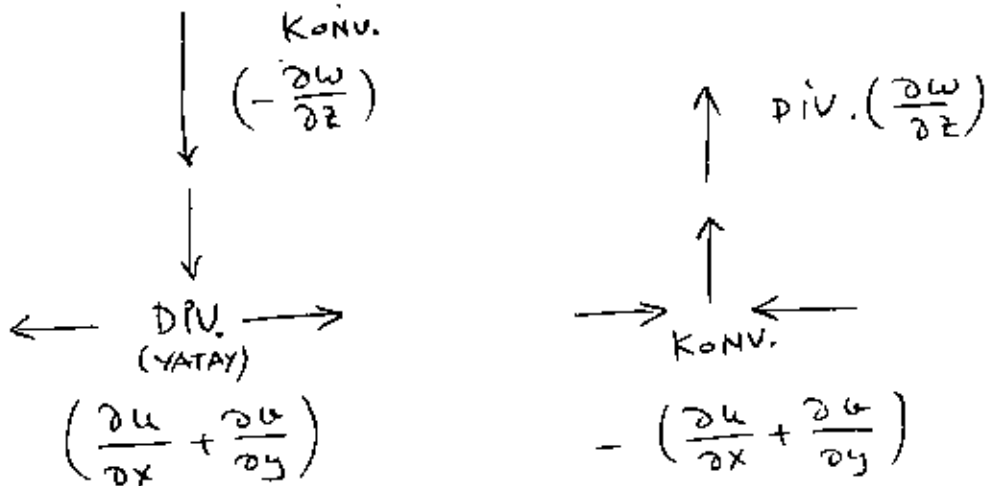
(Şekil-18)

Eğer yoğunluk değişmiyorsa $\frac{d\rho}{dt} = 0$ olacağından devamlılık denklemi, (3.32)'ye göre: (Havanın yoğunluğu sabit yani hava sıkıştırılamaz)

$$\frac{\partial u}{\partial x} + \frac{\partial v}{\partial y} + \frac{\partial w}{\partial z} = 0 \quad (3.34) \quad \frac{\partial u}{\partial x} + \frac{\partial v}{\partial y} + \frac{\partial w}{\partial z} = 0 \quad (3.35) \text{ yazılabilir.}$$

(3.35) In sol tarafı pozitiftir. Şu halde divengans şartı sağlanmıştır. Sağ tarafın işaretin işaret negatiftir. Şu halde konverjans (veya negatif divergans) şartı sağlanmıştır.

(3.35) bize, yatay seviyede vuku bulan bir divergansın dikey konvenjansla denge halinde bulunacağını söylemektedir. W, Z ekseni üzerinde eki dikey hızdır. Şu halde, yerde divergans olursa, üst seviyede aşağıya doğru (3.35)'in sağ tarafının işaretin (-) olduğu için Z ekseninin ters yönünde bir hareket olacağını anlıyoruz.



(Şekil-19)

Şekil-19'dan da gayet iyi anlaşılacağı üzere, yerdeki ıvergans $(\frac{\partial u}{\partial x} + \frac{\partial v}{\partial y}) > 0$, üst seviyeden gelen konvansiyonel konverjansla $(-\frac{\partial \omega}{\partial z})$ dengelenir. Eğer yerde, konverjans varsa bu takdirde (3.35) ifadesinin işaretleri değişerek,

$$-(\frac{\partial u}{\partial x} + \frac{\partial v}{\partial y}) = \frac{\partial \omega}{\partial z} \quad (3.36) \text{ halini alır.}$$

Yerdeki konverjans halinde ise, $\frac{\partial \omega}{\partial z}$ terimi pozitif olacağından $(\frac{\partial \omega}{\partial z} > 0)$ yerden yukarı doğru bir haret vardır. Ancak bu tamamen doğru olsaydı, hava kütlesinde bir değişiklik olmuyacaktı ve bir denge sağlanacağından yer basınclarında hiç bir zaman değişim görülmeyecekti. Halbuki basınç değişmektedir. Öyle işe, havayı her zaman "sıkıştırılamaz" kabul edemeyiz. Hava sıkıştırılabilir. Yani yoğunluk değişebilir.

PROBLEMLER

- 1) 4 mb.lık ara ile çizilen iki izobar arasındaki uzaklık 200 km, ise basınç gradienti ne olur?

Cözüm : $\Delta p = 4 \text{ mb} = 4 \times 10^3 \text{ din/cm}^2$

$$\Delta n = 200 \text{ km} = 200 \times 10^3 \text{ cm.}$$

$$\frac{\Delta p}{\Delta n} = \frac{4 \times 10^3}{200 \times 10^3} = 2 \times 10^{-4} \text{ din.cm}^{-3}$$

- 2) 300 mb.da 50° N enlemede 50 knot hızla esen batılı bir akışta, 1 gm.lık hava üzerine etki eden Coriolis kuvveti hesaplayınız. ($\Omega = 7.29 \times 10^{-5}$ radyan/sn)

Cözüm : $\Omega = 7.29 \times 10^{-5}$ rad/sn.

$$\sin \phi = \sin 50^\circ = 0.77$$

$$v = 50 \text{ knot} = 50 \times \frac{1}{2} \text{ m/sn} = 50 \times \frac{1}{2} \times 10^2 \text{ cm/sn.}$$

Coriolis sabite : $f = 2 \Omega \sin \phi = 2 \times 7.29 \times 10^{-5} \times 0.77$

$$f = 1.11 \times 10^{-4}$$

Coriolis Kuvvet : $2v_f \sin \phi = 1.11 \times 10^{-4} \times 50 \times \frac{1}{2} \times 10^2$

Coriolis Kuvvet : 0.287 da/sn^2

- 3) Yoğunluk 10^{-3} gm/cm^3 olarak veriliyor. 60° N enlemede 200 km. aralıkları ve 5 mb.lık farkla çizilen (2) izobar arasında esen geostrofik rüzgarı hesaplayınız.

Cözüm :

$$V_g = \frac{1}{gf} - \frac{dp}{dn}$$

$$f = 2\Omega \sin \phi = 2 \times 7,29 \times 10^{-5} \times \sin 60^\circ = 1,26 \times 10^{-4}$$

$$dp = 5 \text{ mb.} = 5 \times 10^3 \text{ din/cm}^2$$

$$dn = 200 \text{ km.} = 200 \times 10^5 \text{ cm.}$$

$$V_g = \frac{1}{gf} - \frac{dp}{dn} = \frac{1}{1 \times 10^{-3} \times 1,26 \times 10^{-4}} - \frac{5 \times 10^3}{200 \times 10^5} \text{ cm/sn.}$$

$$V_g = \frac{5 \times 10^3}{1 \times 10^{-3} \times 1,26 \times 10^{-4} \times 200 \times 10^5} - \frac{1}{10^2 \times \frac{1}{2}} \text{ knot}$$

$$V_g = 38,5 \text{ knot}$$

4) 60°N enliğinde, 500 mb.da 30 knot'lık battani bir rüzgar ile 300 mb.da 70 knot'lık battani bir rüzgar variliyor. İki seviye arasındaki ortalama sıcaklık -30°C dir. 500-300mb. arasıındaki yatay sıcaklık gradientini hesaplayınız. İki seviye arasındaki fark 3 km.dir ($g=980 \text{ cm/sn}^2$)

Cözüm :

$$\frac{\partial U_g}{\partial z} = -\frac{g}{fT} \left(\frac{\partial T}{\partial y} \right)$$

$$f = 2\Omega \sin \phi = 2 \times 7,29 \times 10^{-5} \times \sin 60^\circ = 1,26 \times 10^{-4}$$

$$\Delta U_g = 70 - 30 = 40 \text{ knot} = 40 \times 10^2 \times \frac{1}{2} = 2000 \text{ cm/sn.}$$

$$\Delta z = 3 \text{ km.} = 3 \times 10^5 \text{ cm.}$$

$$T = 243 \quad \left(\frac{\Delta T}{\Delta y} \right)_p = -\frac{fT}{g} - \frac{\Delta z}{\Delta U_g} = -\frac{1,26 \times 10^{-4} \times 243}{980} \frac{2000}{3 \times 10^5}$$

$$\frac{\Delta T}{\Delta y} = 2,15 \times 10^{-7} \text{ derece/cm} = -2,15^\circ\text{K}/100 \text{ km.}$$

$$\frac{\Delta T}{\Delta y} \approx -2^\circ\text{K}/100 \text{ km.}$$

5) Siklonik bir dönüş için, 20°N enlemede, 4 mb.lık ara ile çizilen iki izobar arasındaki uzaklık 450 kmbdır. Merkezden 400 km. uzaklıkta (yarıçap) bir noktadaki gradient rüzgarı hesaplayınız.

$$(\frac{f}{\rho} = 10^{-3} \text{ gm/cm}^3)$$

Cözüm :

$$v_{gr} = -\frac{fr}{2} + \sqrt{\frac{f^2 r^2}{4} + \frac{r}{f} \frac{dp}{dn}}$$

$$r = 400 \text{ km.} = 400 \times 10^5 \text{ cm.}$$

$$f = 2\pi \sin \phi = 2 \times 7,29 \times 10^{-5} \times \sin 20 = 0,49 \times 10^{-4}$$

$$fr = 0,49 \times 10^{-4} \times 400 \times 10^5$$

$$\frac{fr}{2} = 0,49 \times 10^{-4} \times 400 \times 10^5 \times \frac{1}{2} = 9,97 \times 10^2$$

$$\frac{f^2 r^2}{4} = (9,97 \times 10^2)^2 = 9,95 \times 10^5$$

$$\frac{dp}{dn} = \frac{4 \text{ mb.}}{450} = \frac{4 \times 10^3}{450 \times 10^5}$$

$$\frac{r}{f} \frac{dp}{dn} = \frac{400 \times 10^5}{1 \times 10^{-3}} \frac{4 \times 10^3}{450 \times 10^5} = 3,55 \times 10^6$$

$$\sqrt{\frac{f^2 r^2}{4} + \frac{r}{f} \frac{dp}{dn}} = 3,55 \times 10^6 + 9,95 \times 10^5 = 4,55 \times 10^6$$

$$\sqrt{\frac{f^2 r^2}{4} + \frac{r}{f} \frac{dp}{dn}} = \sqrt{4,55 \times 10^6} = 2,13 \times 10^3$$

$$v_{gr} = -\frac{fr}{2} + \sqrt{\frac{f^2 r^2}{4} + \frac{r}{f} \frac{dp}{dn}} = -9,97 \times 10^2 + 2,13 \times 10^3$$

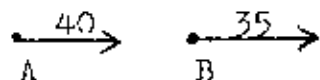
$$v_{gr} = 1,13 \times 10^3 \text{ cm/sn.} = 11,35 \text{ m/sn.} = 22 \text{ knot.}$$

$$\boxed{v_{gr} = 22 \text{ knot}}$$

Aynı problemi 40°N enlemi için çözünüz. Neticeyi karşılaştırınız. Farzin E.İ.İ. belirtiniz.(Yukarı enlemlerdeki gradient rüzgarı aşağı enlemlerinden küçültür)

Ayrıca aynı verileri Y.B. için uygulayınız ve gösteriniz ki, Y.B. deki gradient rüzgar, A.B. deki gradient rüzgarдан daha büyüktür.

G) Aynı enlem derecesinde verilen iki istasyonun batılı rüzgar hızları 40 knot ve 35 knotтур. Aralarındaki uzaklık 100 km. ise, hız diverjansını bulunuz.



Cözüm : Yön X doğrultusunda olup, (Y) bileseni yoktur.

$$\frac{\partial v}{\partial y} = 0, \quad \frac{\partial u}{\partial x} + \frac{\partial v}{\partial y} = \frac{U_B - U_A}{x_B - x_A} = \frac{(35-40)}{100} \text{ km.}$$

$$\frac{\partial u}{\partial x} = - \frac{5 \times 10^2 \times 0,5}{100 \times 10^5} = -2,57 \times 10^{-5} \text{ sn}^{-1}$$

(A) -(B) arasıında konverjans vardır.

Rüzgar hızında 1 knotluk bir değişim, $0,5 \times 10^{-5} \text{ sn}^{-1}$ lik bir diverjans değişimine sebep olur. Öte yandan 5 knotluk bir hız değişimini ise, diverjansın işaretini dahi değiştirebilecek büyüklüktür. Bu yüzden hesaplanacak diverjans, büyük hatırı sebebiyet verebilir.

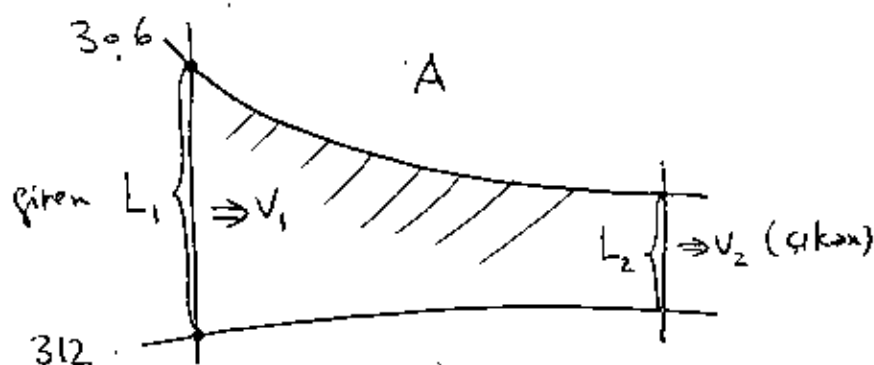
BÖLÜM-4

DİVERJANS-KONVERJANS

1- Temel Kavranılar ve Tarifler :

Meteoroloji'de diverjans genellikle yatay bir düzlem için kullanılır. Örneğin, sabit basınç haritalarında, kontur değerleri arasındaki yükseklik farkı, kontur aralığının mesafesi yanında çok küçük kalacağından, eğim ihmal edilebilir. Bu yüzden diverjansı, sabit basınç haritalarının "yatay bir düzlem" için çizilmiş olduğunu düşünerek tayin edebiliriz. Diverjans, rüzgârlarla ölçülür. Yatay diverjans, belli bir alana giren ve çıkan hava akımı ile orantılıdır diyebiliriz. Öyleki, eğer, çıkan hava akımı, giren havadan daha fazla ise, o bölgede diverjans vardır denir. Diverjansın pozitif olduğu durumda çıkan hava, giren havadan daha fazladır. Karşın olaraq eğer belli bir alana giren hava, çıkan havadan daha fazla ise, bu takdirde negatif diverjans yani konverjans vardır denir.

Diverjans hakkında daha iyi bir fikir edinmek için aşağıdaki şekli inceliyelim :



(Şekil-20)

Rüzgârların, konturlara paralel olarak estiği kabul edilerek, giren ve çıkan havayı hesaplıyalım : Giren hava L_1 mesafesi ile, v_1 rüzgâr hızına bağlıdır. Çıkan hava ise L_2 uzunluğu ile v_2 hızına bağlıdır. A alanı da verildiğine göre: Diverjans tarife göre, aşağıdaki gibi verilir.

$$\text{div} = \frac{v_2 L_2 - v_1 L_1}{A} \quad (5.1)$$

birim olarak : $\frac{\text{cm} \cdot \text{sn}^{-1} \cdot \text{cm}}{\text{cm}^2} = \frac{1}{\text{sn}}$

eğer, $v_2 L_2 > v_1 L_1$ ise, diverjans pozitif olacak, aksi halde, yani $v_1 L_1 > v_2 L_2$ ise, diverjans negatif olacak, yani konverjans mevcut olacaktır. Diverjansın birimi de (5.1) denklemine göre $\frac{1}{\text{saniye}}$ veya (sn^{-1}) olarak bulunabilir. Genel olarak 10^{-5}sn^{-1} değeri tipik bir diverjans büyüklüğüdür.

Belirtmek lazımdır ki, atmosferdeki diverjans aslında pek küçüktür, başka bir deyişle, $v_2 L_2$, $v_1 L_1$ 'e yaklaşıklikla eşittir. (Şekil-20)'e göre konturlar batıdan doğuya doğru gitmişce sıkışmaktadır. Yani L_2 , L_1 'e nazaren biraz daha küçük görülmektedir. Bu hal konfluens olarak tarif edilir. Fakat diğer yandan $v_2 > v_1$ şartı sağlanmıştır, bu yüzden $v_2 L_2$ çarpımı ile $v_1 L_1$ çarpımı, aşağı yukarı birbirine eşittir.

Rüzgârların geostrofik olduğunu farzedelim. Geostrofik rüzgâr denklemine göre: (bk: 3.17 formülü)

$$C_g = -\frac{g}{f} \frac{dz}{dn}$$

giren ve çıkan hava için dz (kontur farkları) birbirine eşittir. g ve f birer sabite olduğu için zaten değişmemektedir.

Buna göre ;

$$\text{gelen havada : } Cg_1 dn_1 = \frac{F}{\rho} \cdot dz$$

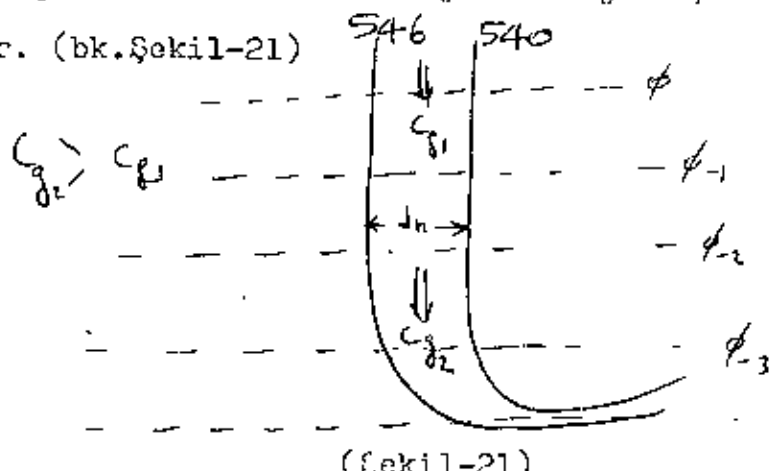
$$\text{çıkan havada : } Cg_2 dn_2 = \frac{F}{\rho} \cdot dz$$

$$\text{su halde } Cg_1 dn_1 = Cg_2 dn_2 = L_1 V_1 = L_2 V_2 \text{ olur.}$$

Su halde geostrofik rüzgarın diverjansı bu misalde sıfırdır.

Aynı şekilde, konverjans da sıfırdır. Lisalde konfluens olduğu halde konverjansın sıfır olduğunu anlıyoruz. Buna göre, her konfluensin, konverjans olduğu anlaşılmamalıdır.

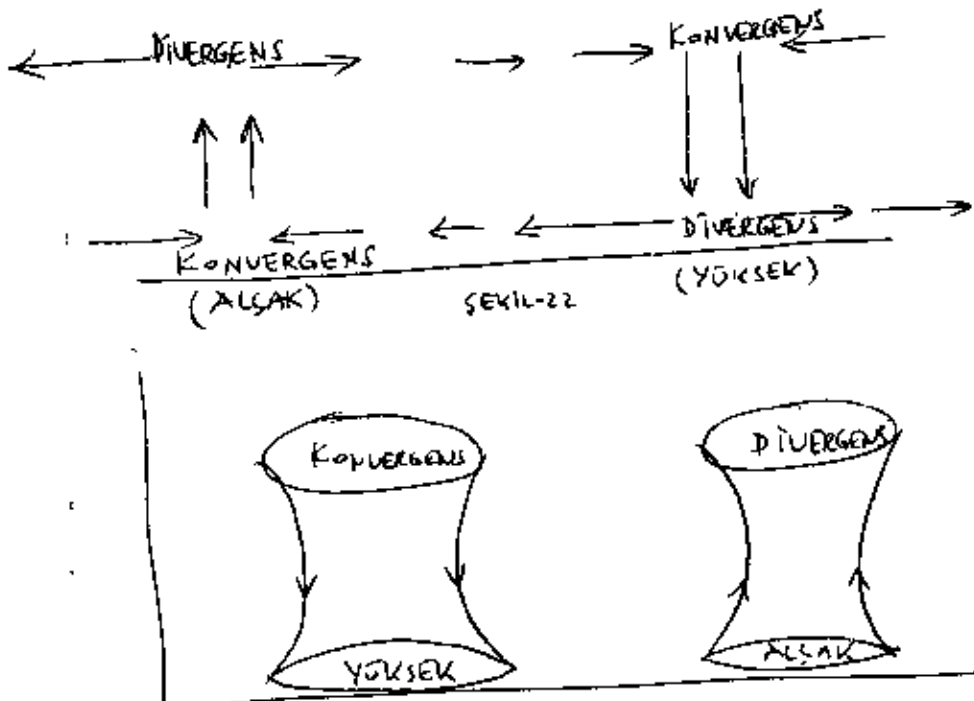
Eğer hava, Şekil-20'deki gibi batıdan doğuya doğru akmazsa, meselâ kuzeyden güneye doğru akarsa, bu takdirde enlem derecesi değişecektir. (ϕ)'nin değişmesi $\sin \phi$ 'nin değişmesine ve doloysiyla (f)'in değişmesine sebep olacak, böylece geostrofik rüzgarın hızı da kuzeyden güneye değişmiş olacaktır. Daha açık bir ifadeyle (f) kuzeyden güneye azalacağından (3.17) formülündeki g , dz ve dn faktörlerinin aynı olması halinde (f) azaldıkça (Cg) geostrofik rüzgar hızı artacaktır. Buna göre kuzeyden güneye akan bir havada rüzgarlar daha aşağı enlemlere inildikçe (dz ve dn 'in aynı olması şartı ile) kuvvetleneceğinden, belli bir alandan çıkan hava giren havadan daha fazla olacağından, kontur uralıkların eitt olan bir durum için diverjans vuk'u bulacak veya diverjans pozitif değerde olacaktır. (bk.Şekil-21)



(Şekil-21)

ϕ , Aşağı enlemlere inildikçe azalır. (Sin ϕ azalır) eşit kortur aralığında kuzeyden güneye hareket eden havanın aşağı enlemlere inildikçe hızı artar. Belli bir alan (veya hacim) gözönüne alınırsa; çıkan hava giren havadan daha fazla olacağından pozitif diverjans vuk'u bulur. Ancak diverjans değeri bu misalde de oldukça küçüktür. Atmosferdeki diverjansın ölçülmeyecek kadar küçük olmasına rağmen, sıfıra eşit olmadığı da bir gerçektir. Aslında bazı teorik hesaplarda, diverjansın ölçülebilen en küçük değeri dahi önen taşıyabilir. Mesela, yatay bir düzlemdede bir konverjans varsa (negatif diverjans) bir alana giren havanın çıkan havadan daha fazla olduğu anlaşılmalıdır. Bu takdirde ortaya çıkacak " fazlalık " hava ne olacaktır? Mademki, belli bir alana veya bir bölgeye gelen hava, o bölgeden çıkan havadan fazladır, şu halde devamlı olarak bölgede birikecek hava, yoğunluğun artmasına sebep olabilecektir diye düşünebiliriz. Buna karşılık, yoğunluğun en geniş anlamda basınç ve sıcaklıkla kontrol edildiğini hatırlarsak, daha başka bir olayın meydene geleceğini düşünmemiz gerekecektir. İşte bu olayda, biriken havanın yukarı doğru çıkışması (vertical motion) olayıdır. Eğer belli bir bölgede, yukarıda da izah edildiği gibi, yerde veya yere yakın seviyelerde konverjans mevcutsa, biriken hava toprağın altına giremeyeceği göre yükselmeye başlıyacaktır. Böylece o bölge üzerinde kâfi derecede rutubetde mevcutsa, konverjans nedeniyle toplanan hava, üst seviyelere doğru tırmana ek bulut teşekkülüne ve yağışlara sebep olacaktır. Burada şunu hatırlamak yerinde olur ki, derin alçak basınç zonları ideal bir konverjansa sahiptirler. Aşağı seviyelerde veya yerde meydana gelen bu konverjans, alçak basınç merkezlerinin neden yağışlı olduğunu da bir izahıdır. Aynı şekilde, yerde

veya yere yakın seviyelerde diverjans mevcutsa, yani belli bir bölgeden çıkan hava o bölgeye giren havadan daha fazla ise, bu takdirde üst seviyelerde aşağıya doğru bir çökme (subsidiens) görülür. Yüksek basınç merkezlerinden yerde ve yere yakın seviyelerde diverjans görülür. Bu yüzden üst seviyelerden itibaren yere doğru çöken hava ısnır. Bulutlar erir, yağlısız, açık, kararlı ve kuru bir hava görülür. Buna göre, üstden dikey olarak inen hava, yerde yatay olarak yılmağa başlar. Yüksek basınç merkezlerinde, rüzgârların merkezden dışarı doğru yönelmelerinin sebebi de budur. Aynı şekilde alçak basınç sahalarında da, rüzgârların merkeze doğru yöneldikleri de söylenebilir. Bunun sebebini de alçak basınç merkezlerde yukarı doğru olan harekette aramak lâzımdır. (bk.Şekil-22) ve (bk.Şekil-23)



SEKİL-23

2. Diverjansın Matematiksel İfadesi :

(3.33) Formülü, devamlılık denkleminden elde edilmiş-
tir. Bu formül yardımıyla konverjans ve diverjansın matematik-
sel ifadelerini ilgili bölümde incelemiştik. Şimdi bu konu üze-
rinde biraz daha duracağız.

(3.33) denklemine göre :

$$\frac{\partial u}{\partial x} + \frac{\partial v}{\partial y} + \frac{\partial w}{\partial z} = - \frac{1}{\rho} \frac{df}{dt} \quad (5.2)$$

İfadeli tekrar yazılabilir. (5.2) ifadesi, değişen yoğunluk
şartına göre, yazılmış olup ifadesinin sol tarafı diverjansı
(pozitif) ifade etmektedir.

$$\frac{\partial u}{\partial x} + \frac{\partial v}{\partial y} + \frac{\partial w}{\partial z} = \frac{1}{\rho} \vec{w} \cdot \vec{V} = \vec{\nabla} \cdot \vec{V} \quad (5.3)$$

(5.2) ve (5.3) denklemlerinin birleştirilmesinden :

$$-\frac{1}{\rho} \frac{df}{dt} = \frac{1}{\rho} \vec{w} \cdot \vec{V} \quad (5.4) \text{ yazılabilir.}$$

Yerdeki rüzgarın genellikle dikey bileşeni (w)
ihmal edilebilir. Bu takdirde, geriye yalnız yatay bir düz-
lem içinde rüzgarın (u) ve (v) bileşenleri kalır. (5.3) ve
(5.4) denkleminden :

$$\frac{1}{\rho} \frac{df}{dt} = - \frac{1}{\rho} \vec{w} \cdot \vec{V} = - \frac{1}{\rho} \vec{w} \cdot \vec{v} \quad (5.5) \text{ ifadesi elde edilir.}$$

(5.5) İfadesine göre, eğer $\frac{df}{dt} > 0$ ise, yani (ϕ) yoğunluğunu, zamanla artıyorsa ki bu yerde havanın (sabit basınçta) soğuduğunu ifade etmektedir bu takdirde diverjans, (5.5) den de görüldüğü gibi negatif olacaktır. Negatif diverjans, konverjans demektir. Bu görüş noktasından giderek kışın soğuk karalar üzerinde hakim olan havanın, konverjansa sebep olarak, birikeeğini ve soğuk nüveli yüksek basınçları meydana getireceği söylenebilir. Sibirya yüksek basıncı, bu tarzda teşekkür eden yüksek basınçlara iyi bir örnek olabilir.

Yine (5.5) denklemini inceleyeceğimizde, eğer havanın yoğunluğu sabit basınçta artan sıcaklığına göre zamanla azalıyorsa, $\frac{df}{dt} < 0$ yani, ($\frac{df}{dt}$) negatifse (5.5) ifadesi :

$$-\frac{1}{\phi} \frac{df}{dt} = \text{div}_2 V \quad (5.6)$$

olarak yazılabilir. Bunun manası da şudur : yerdeki veya yere yakın seviyelerdeki havanın sıcaklığı devamlı olarak artar ve yoğunluk da zamanla azalırsa bu takdirde, o bölgede pozitif diverjans görülür. (sabit basınçta)

Şu halde yazın sıcak karalar üzerinde, devamlı olarak artan sıcaklık, diverjansa sebep olacak sıcak nüveli alçak basınçları husule getirecek diyebiliriz. Meselâ, Basra Alçak Basıncı bu tipe giren bir sistemdir.

Şurası önenle kaydedilmelidir ki, şekil- ve şekilde belirtmeye çalıştığımız görüntü ile, biraz önce yukarıda söylediğimiz tezat teşkil eder gibi görünüyorsa da aslında durum tam bir beraberlik içindedir. Şekil-22 ve şekil-23'de yerdeki diverjans, yüksek basıncı, yerdeki konverjans ise, alçak basıncı tekabül etmekte idi. Biraz önce ise, soğuk yüksek

basınçların konverjans nedeniyle, sıcak yüksek basınçların ise, diverjans nedeniyle husule geldiğini belirtmiştik...

Aradaki tezat gibi görünen husus ikinci misalde, yoğunluğun zamanla değişmesi hususudur. Dolayısıyla dikey faaliyetler, bu durumda önemli değildir. Aşağıya doğru çöküşlerde (subsidiens) veya yukarıya doğru hareketlerde yoğunluğun sabit kaldığı kabul edilmiştir. Dolayısıyla soğuk havada yoğunluğun gittikçe artması, dikine faaliyetleri ihmali edilebilir hale getirirken, basınçların yükselmesine ve yüksek basınç sistemlerinin teşekkülüne sebep olur. Buna göre tekrar hatırlatmak ıcap ederse, yoğunluk arttıkça konverjans (basınçlar yükselir) yoğunluk azaldıkça diverjans (basınçlar azalır) husule gelir diyebiliriz. Öte yandan, yoğunluk sabit kaldıği müddetçe; konverjans yer basınçlarının azamasına ve yukarı doğru hareketin başlamasına sebep olur. Yine yoğunluk sabit kaldıği müddetçe; diverjans, yer basınçlarının artmasına ve dolayısıyla subsidansa sebep olur. Aslında hangi faktörün hangisine sebep olduğu da karışık bir sorundur. Yoğunluk değişmediği sürece, (5.2) denklemi $\frac{\partial f}{\partial t} = 0$ yazarak:

$$\frac{\partial u}{\partial x} + \frac{\partial v}{\partial y} + \frac{\partial w}{\partial z} = 0 \quad (5.6) \text{ haline gelir.}$$

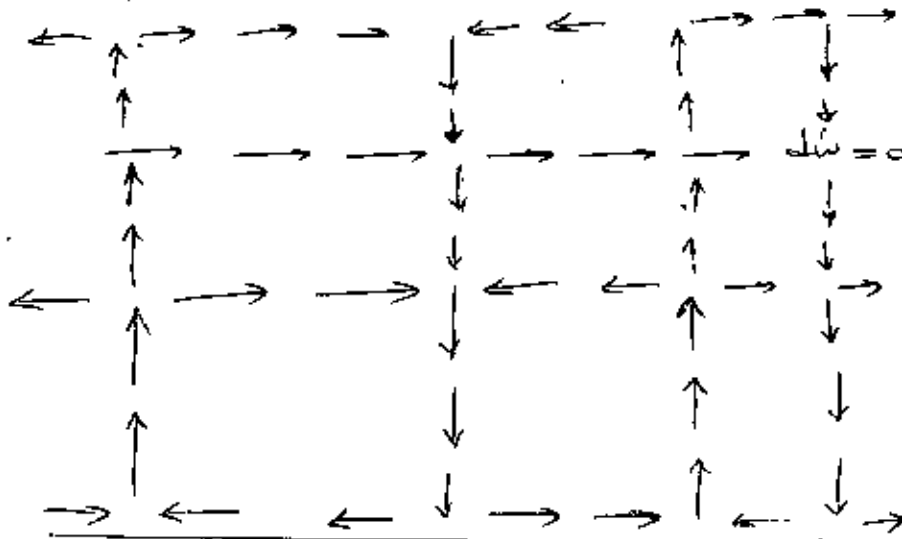
$$(5.6) \text{ ifadesinden } \frac{\partial u}{\partial x} + \frac{\partial v}{\partial y} = - \frac{\partial w}{\partial z} \quad (5.7)$$

(5.7) de sol tarafındaki terimler diverjansı (+) sağ tarafındaki terim ise, negatif diverjansı (-) yani konverjansı ifade eder.

(5.7)'den işaretin değiştirerek:

$$- \left(\frac{\partial u}{\partial x} + \frac{\partial v}{\partial y} \right) = \frac{\partial w}{\partial z} \quad (5.8) \text{ ifadesi yazılır.}$$

Burada da eşitliğin sol tarafı negatif diverjansı (konverjans) sağ taraf ise pozitif diverjansı ifade etmektedir. (5.7) de (w)nın işaretti negatif olduğundan (Z) ekseninin ters yönünde yani, yukarıdan aşağıya (subsidiary) olan hareketi ifade ettiği kolayca görülür. Diğer yandan (5.8) ifadesinde (w)nın işaretti (+) olduğu için, ω ekseni boyunca, yani aşağıdan yukarıya doğru olan bir hareketin varlığı anlaşılır. Bu matematiksel düşünce de daha önce vardığımız neticeyi doğrular mahiyettedir. (bk.Şekil-24)



(Şekil-24)

Yerden itibaren belli bir seviyede, takriben 500-600 mb.da diverjans sıfıdır. Dolayısıyla konverjans da sıfır olur.

Fiziksel terimlerle, diverjans aynı zamanda hacim değişmesi veya alan değişmesi olarak da tarif edilebilir. Öyle ki, hacim V' ise:

$$\boxed{\nabla \cdot V = \frac{1}{V'} \frac{dV'}{dt}} \quad (5.9)$$

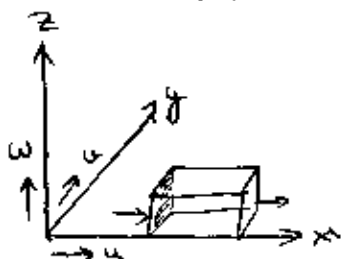
İfadesi yazılabilir. Aynı şekilde, alan (A) ise :

$$\left[\frac{dV}{dt} = \frac{1}{A} \frac{dA}{dt} \right] \quad (5.10) \text{ yazılabilir.}$$

Eğer akış tamamen paralel ve geostrofik ise, diverjans sıfır olur. Dolayısıyla basınç değişimi görülmeyecektir. Kontur ve izobarlar zynen devam eder.

3. Diverjansın Uygulamadaki Yeri:(Dikine Hareketler)

Diverjansı, devamlılık (süreklik) denkleminden bulmuştu. Süreklik denklemini kullanarak, atmosferde dikine harekete ait (w) denklemleri çıkarabiliriz.



Devamlılık denklemi :

$$-\frac{1}{\rho} \frac{dp}{dt} = \frac{\partial u}{\partial x} + \frac{\partial v}{\partial y} + \frac{\partial w}{\partial z}$$

olarak veriliyordu. Burada eğer

$$\frac{\partial u}{\partial x} > 0, \frac{\partial v}{\partial y} > 0, \frac{\partial w}{\partial z} > 0 \quad \text{ise,}$$

diverjans vardır, eğer sistemde diverjans varsa, yoğunluk zamanla azalmaktadır. Yukarıdaki denklemin sağ tarafının tamamı yani :

$$\frac{\partial u}{\partial x} + \frac{\partial v}{\partial y} + \frac{\partial w}{\partial z} : \text{ hacim değişimini,}$$

$$\frac{\partial u}{\partial x} + \frac{\partial v}{\partial y} : \text{ alan değişimini (yatay) göstermektedir.}$$

Devamlılık denkleminden :

$$-\frac{1}{\rho} \frac{dp}{dt} = - \left(\frac{\partial u}{\partial x} + \frac{\partial v}{\partial y} + \frac{\partial w}{\partial z} \right)$$

İfadesi de yazılabilir. Bu takdirde eşitliğin sağ tarafı (negatif diverjans=konverjans) halini göstermektedir. Bu durumda da,

$\frac{df}{dt} > 0$ olur. Başka bir ifade ile yoğunluğun zamanla artması, konverjans ile ilgiliidir. Bu takdirde :

$$\frac{1}{f} \frac{df}{dt} = - \nabla \omega \vec{V} - \frac{\partial \omega}{\partial z}$$

yazılabilir. Son ifadeye göre, eğer yatay akımlar geostrofik iseler (rüzgar hızı sabit) ve dikey hız (w) ihmal edilirse,

ifade : $\frac{1}{f} \frac{df}{dt} = 0 \quad (\partial u / \partial v = 0; \omega \approx 0)$

halini alır. Bu diverjansın 0 olduğunu gösterir. Diverjans sıfır ise, basınç değişimi görülmeyebilir. Yoğunluğun zamanla değişiminin sıfır olduğu, başka bir ifade ile yoğunluğun sabit kalışı, incompresible (sıkıştırılamaz) bir havayı gösterir. Havanın sıkıştırılabilebilir bir özelliği olduğunu biliyoruz. Bu bakımdan, kabule göre $\frac{1}{f} \frac{df}{dt}$ ifadesi, diğer terimlerin yanında % 10 oranında bir büyüklüğe sahiptir. İhmal edilirse :

$$\nabla \omega \vec{V} = - \frac{\partial \omega}{\partial z} \quad \text{ifadesini elde etmiş oluruz.}$$

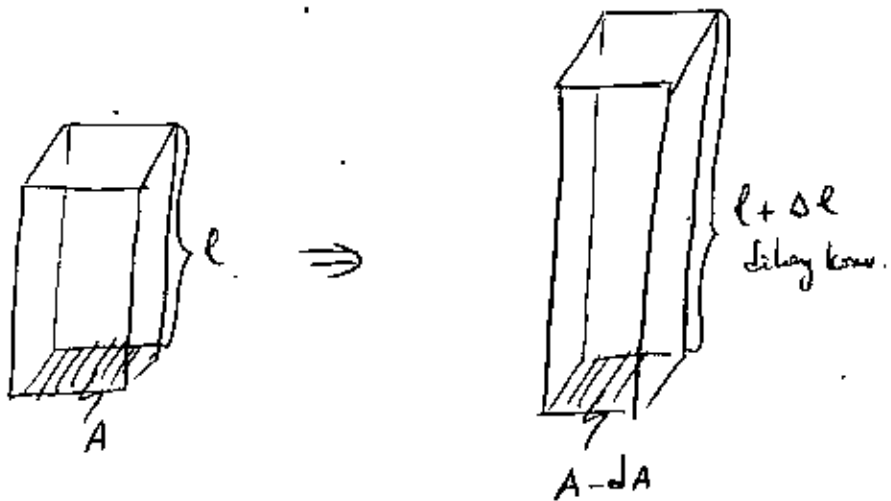
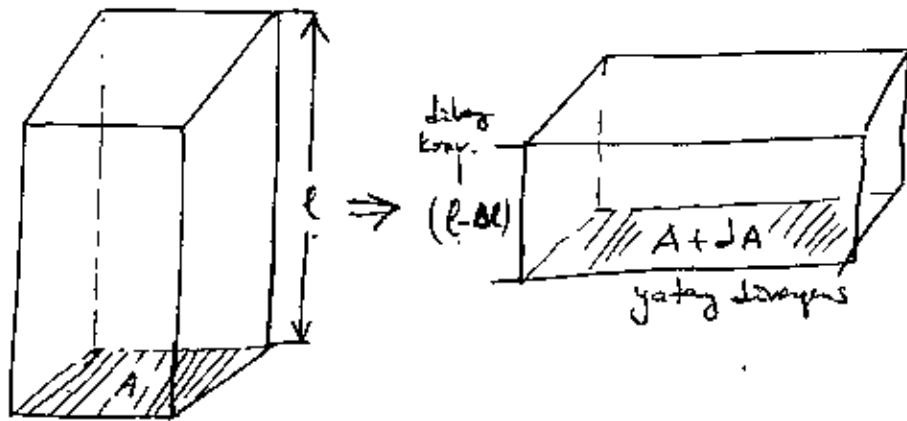
$$\text{Hatırlıyacak olursak: } \nabla \omega \vec{V} = \frac{\partial u}{\partial x} + \frac{\partial v}{\partial y}$$

ifadesi, verilen bir alanın büyümnesini ölçer. Bu yüzden :

$$\nabla \omega \vec{V} = \frac{1}{A} \cdot \frac{dA}{dt} \quad \text{şeklinde de yazılabilir. Burada}$$

A alanı gösterir. Kabul edelim ki, bir hesap sonucunda, diverjansı 10^{-5} sn^{-1} olarak bulduk. Buna göre, alan bir saniyede ilk alanın $\frac{1}{100.000}$ 'i kadar genişliyor demektir. Öyleki, 1000 saniye sonunda, alan % 1 kadar genişliyecektir.

Öte yandan $\frac{\partial u}{\partial z}$ ise, birim zamanda bir hava parselinin dikey kalınlığının artışı oranını verecektir. Örneğin $\frac{\partial u}{\partial t} = 10^{-1}/\text{saat}$ ise (birimi sn^{-1}) bu takdirde 100 metre kalınlığındaki bir hava kolonu bir saatte ($\frac{1}{10}$) oranında artarak 110 metreye ulaşmış olacaktır.



Şu hale göre $\frac{\partial \omega}{\partial z}$ ifadesi (+) ise dikey diverjansı (-) ise, yine dikey konverjansı göstermektedir. Devamlılık denklemini $(\frac{\partial \omega}{\partial z})$ 'ye göre düzenlersek :

$$-\frac{\partial \omega}{\partial z} = \operatorname{div}_z \vec{V} + \frac{1}{f} \frac{df}{dt}$$

ifadesi elde edilir. Bu ifadeye göre, eger bir hava kolonu dikey olarak sıkıştırılırsa ($\frac{\partial \omega}{\partial z} < 0$) bu takdirde, $\operatorname{div}_z \vec{V} > 0$ yani yatay bilyüme görülür, ya da yoğunlukta artma görülür. ($\frac{df}{dt} > 0$) veya her ikisi birden görülür. (Yüksek basınc). $\frac{\partial \omega}{\partial z} < 0$ demek, aşağıya doğru bir hareketin varlığı demektir. (Subsidiy়ans olayı)

Yukardaki denklemi yoğunluk terimi ihmal edilirse:

$$\operatorname{div}_z \vec{V} = -\frac{\partial \omega}{\partial z} \text{ ifadesi elde edilir. Veya:}$$

$$\frac{\partial u}{\partial x} + \frac{\partial v}{\partial y} = -\frac{\partial \omega}{\partial z}; \quad \partial \omega = - \int \left(\frac{\partial u}{\partial x} + \frac{\partial v}{\partial y} \right) dz$$

$$\int_L^\infty \partial \omega = - \int_L^\infty \operatorname{div}_z \vec{V} dz; \quad [\omega] = \int_L^\infty \operatorname{div}_z \vec{V} dz \text{ bulunur.}$$

$\omega_\infty = 0$ olacağından:

$$[\omega = \int_L^\infty \operatorname{div}_z \vec{V} dz] \text{ bulunur.}$$

4.(w) İçin Bir Diğer Metot:

Meteoroloji'de herhangi bir kemiyyetin değişimini, ferdi ve mahalli olmak üzere iki kısımda incelenebilir. Örnek olarak, yoğunluğunu ele alalım.

$$f = f(x, y, z, t)$$

Buna göre, herhangi bir (t) zamanındaki x, y, z noktalarındaki yoğunluğun, $(t+dt)$ zamanındaki $x+dx, y+dy, z+dz$ noktalarındaki değişimini :

$$df = \frac{\partial f}{\partial x} dx + \frac{\partial f}{\partial y} dy + \frac{\partial f}{\partial z} dz + \frac{\partial f}{\partial t} dt$$

ile verilir. Her terim (dt) ile bölünürse:

$$\frac{df}{dt} = \frac{\partial f}{\partial x} u + \frac{\partial f}{\partial y} v + \frac{\partial f}{\partial z} \omega + \frac{\partial f}{\partial t} \quad \text{veya:}$$

$$\frac{df}{dt} = \frac{\partial f}{\partial t} + u \frac{\partial f}{\partial x} + v \frac{\partial f}{\partial y} + \omega \frac{\partial f}{\partial z}$$

bulunur. Burada : $\frac{df}{dt}$: ferdi değişim $\frac{\partial f}{\partial t}$: mahalli değişim olarak tarif edilir. Son ifadeden :

$$\frac{df}{dt} = \frac{\partial f}{\partial t} + \operatorname{div}_z f \vec{V} + \omega \frac{\partial f}{\partial z}$$

denklemi bulunur. Eşitliğin sağ tarafındaki son iki terim 3 boyutta advektif değişim olarak tarif edilir. Eğer rüzgâr sakin ise ($u=v=w=0$) advektif terim sıfıra eşit olur ve ferdi değişim, manalli değişimde eşit olur.

Son ifadenin sağ tarafındaki ikinci terimi açalım :

$$\operatorname{div}_z f \vec{V} = \vec{\nabla}_z \cdot f \vec{V} = f \operatorname{div}_z \vec{V} + \vec{V} \cdot \vec{\nabla}_z f$$

şeklinde yazılabilir. Burada :

$$f \operatorname{div}_z \vec{V} = \text{hız diverjansıdır.}$$

$$\vec{V} \cdot \vec{\nabla}_z f = \text{yoğunluk adveksiyonudur.}$$

genellikle yoğunluk adveksiyonu terimi, hız diverjansına nazaran daha büyüktür.

Yoğunluk yerine sıcaklığı ele alırsak :

$$\frac{dT}{dt} = \frac{\partial T}{\partial t} + \vec{V} \cdot \vec{\nabla}_z T + \omega \frac{\partial T}{\partial z}$$

Eğer, sıcaklık değişimi adyabatik ise, (yatay adveksiyon=0 eşitliğin sağ tarafının ilk iki terimi kalkarak):

$$\frac{dT}{dt} = \omega \frac{\partial T}{\partial z} = -\omega \Gamma_1 \quad \text{yerine konursa:}$$

$$-\omega \Gamma_1 = \frac{\partial T}{\partial t} + \vec{V} \cdot \vec{\nabla}_z T + \omega \frac{\partial T}{\partial z} \quad (\Gamma_1 : \text{kuru adyabatik lapse-rate})$$

$$\text{veya: } -\omega \Gamma_1 - \omega \frac{\partial T}{\partial z} = -\omega \Gamma_1 + \omega \gamma ; \quad -\omega \Gamma_1 + \omega \gamma = \frac{\partial T}{\partial t} + \vec{V} \cdot \vec{\nabla}_z T$$

$$-\omega(\Gamma - \gamma) = \frac{\partial T}{\partial t} + \vec{V} \vec{\nabla}_T T; \quad \left[\omega = -\frac{\frac{\partial T}{\partial t} + \vec{V} \vec{\nabla}_T T}{\Gamma - \gamma} \right]$$

$\Gamma = 1^{\circ}\text{C}/100\text{m}$ (kuru adyabatik lapse-rate)

γ = halihazır lapse-rate.

5. Dikey Hız İçin Bir Diğer Metot:

Bu metotla da, dikey hız devamlılık denkleninden elde edilmektedir. Devamlılık denklemi :

$$-\frac{1}{g} \frac{df}{dt} = \frac{\partial u}{\partial x} + \frac{\partial v}{\partial y} + \frac{\partial w}{\partial z} \quad \text{olarak veriliyor. Veya:}$$

$$-\frac{1}{g} \frac{df}{dt} = \operatorname{div}_2 \vec{V} + \frac{\partial w}{\partial z}; \quad \vec{\nabla} = \left(\frac{\partial}{\partial x} + \frac{\partial}{\partial y} \right) \omega_z$$

veya:

$$-\frac{\partial w}{\partial z} = \operatorname{div}_2 \vec{V} + \frac{1}{g} \frac{df}{dt}; \quad -\frac{\partial(fw)}{\partial z} = \operatorname{div}_2 \vec{V} + \frac{df}{dt} \quad \text{bulunur. Öte yandan:}$$

$$\frac{df}{dt} = \frac{\partial f}{\partial t} + u \frac{\partial f}{\partial x} + v \frac{\partial f}{\partial y} + w \frac{\partial f}{\partial z} \quad \text{eşitliği yukarıda yerine}$$

$$\text{konulursa: } -\frac{\partial(fw)}{\partial z} = \operatorname{div}_2 f \vec{V} + \left(\frac{\partial f}{\partial t} + u \frac{\partial f}{\partial x} + v \frac{\partial f}{\partial y} + w \frac{\partial f}{\partial z} \right)$$

Bu eşitliğin sağ tarafının iki terimi (parantez içi) ihmal edilebilir :

$$-\frac{\partial(fw)}{\partial z} = \operatorname{div}_2 f \vec{V} \quad \text{integral olarak:}$$

$$\int_S \partial(fw) = - \int_S \operatorname{div}_2 f \vec{V} dz$$

elde edilir. Burada (S) yeri (surface), (L) ise herhangi bir üst seviye (level) föstermektedir. Son ifadeden:

$$\int_L w_L - \int_S w_S = - \int_S \operatorname{div}_2 f \vec{V} dz \quad \text{ve:}$$

$$w_L - \int_L w_S = - \frac{1}{g} \int_S \operatorname{div}_2 f \vec{V} dz \quad \text{buradan:}$$

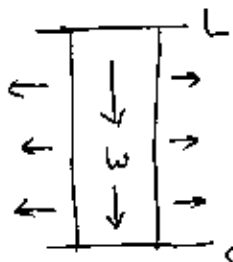
$$\omega_L = \frac{f_s}{f_L} \omega_s - \frac{1}{f_L} \int_s^L \operatorname{div}_z \rho \vec{V} dz$$

yer seviyesinde $\omega_s \approx 0$ oldugundan, orta troposferde yani bir, (L) seviyesinde :

$$\omega_L = - \frac{1}{f_L} \int_s^L \operatorname{div}_z \rho \vec{V} dz \text{ veya } -\omega_L = \frac{1}{f_L} \int_s^L \operatorname{div}_z \rho \vec{V} dz \quad \text{elde edilir.}$$

Bu denkleme göre, eğer (S) ile (L) arasında, örnek olarak yer ile üst seviye arasında bir diverjans varsa, ω_L , (negatif) olacağından burada bir çökme (Süpsidans) olayı görülecektir.

$$\operatorname{div}_z \rho \vec{V} = \vec{\nabla}_z \cdot \rho \vec{V} = \rho \operatorname{div}_z \vec{V} + \vec{V} \vec{\nabla}_z \rho$$



Burada :

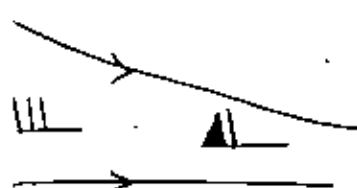
$\operatorname{div}_z \rho \vec{V}$: Kütle diverjansı

$\rho \operatorname{div}_z \vec{V}$: Hız diverjansı terimi

$\vec{V} \vec{\nabla}_z \rho$: Yerçekim adveksiyon terimi

Buna göre, Süpsidans olayının gerçekleşmesi için, hava kolonunun diverjansı sahip olması gereklidir. Bunun için:

Hız diverjansı sağlanması $\frac{\partial u}{\partial x} > 0, \frac{\partial u}{\partial y} > 0$ gereklidir.

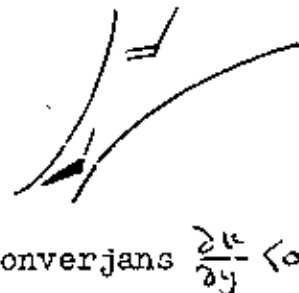
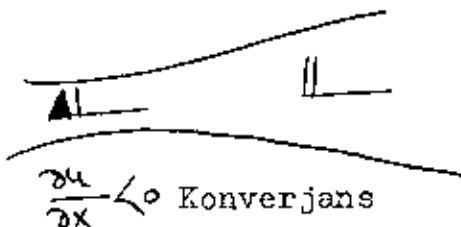


Diverjans $\frac{\partial u}{\partial x} > 0$



Diverjans

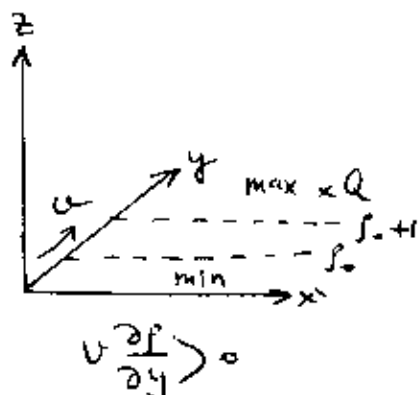
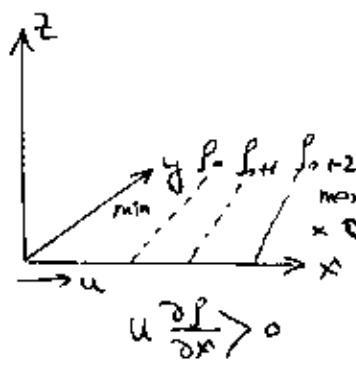
Öte taraftan dikey hareketin (w 'nin pozitif olması) başlaması için negatif diverjans, yani konverjans meydana gelmelidir:



Yoğunluk adveksiyon terimini inceleyelim:

$$\vec{V} \vec{\nabla}_2 f = u \frac{\partial f}{\partial x} + v \frac{\partial f}{\partial y}$$

eğer, $u \frac{\partial f}{\partial x} > 0$ ve $v \frac{\partial f}{\partial y} > 0$ ise, orada diverjans vardır ve formüle göre sübsidans olacaktır:



Bu duruma göre, bir (Q) noktasına, (istasyona) az yoğun bir adveksiyon geliyorsa, orada diverjans olacaktır. (Yatay kütleyerjansı) sabit basınç haritaları için : (p =sabit)

$f = \frac{p}{RT}$ ifadesine göre, (f) yoğunluğu sadece (T) sıcaklığına bağlıdır. (T) arttıkça (f) azalacaktır. eger (Q) noktasına az yoğun (çok sıcak) bir adveksiyon geliyorsa orada yatay diverjans, dolayısıyla (sübsidans) görülecektir. Yine tecrübeleri ~~göre~~ göre sıcak adveksiyonun bulunduğu yerleri de siklojenesis bu yüzden teşekkür edemez. Bunun tersi de doğrudur

Şekle göre, sağk adveksiyon varsa, bu takdirde konverjans meydana gelecek ve dikey hareket yukarı doğru yönelecektir.

Dikine hareket formülü :

$$-\omega_L = \frac{1}{\rho} \int_L^{\infty} \operatorname{div}_z \rho \vec{V} dz \text{ olarak bulunmuştur.}$$

Eğer integrasyon (L) seviyesine kadar değil de, en üst atmosfere (∞) kadar uygunlarsak:

$$\int_L^{\infty} -\partial(\rho w) = \int_L^{\infty} \operatorname{div}_z \rho \vec{V} dz \text{ yazılabilir.}$$

$\int_{\infty}^{\infty} = 0$ olacağından :

$$\int_L^{\infty} \rho w_L = \int_L^{\infty} \operatorname{div}_z \rho \vec{V} dz$$

bulunur.

Buradan da :

$$\omega_L = \frac{1}{\rho} \int_L^{\infty} \operatorname{div}_z \rho \vec{V} dz$$

yazılabilir. Burada w , diverjansla aynı işaretlidir. Son ifade ile en yukarıdaki denklemin sağ tarafını eşitlersek :

$$\left[\int_L^{\infty} \operatorname{div}_z \rho \vec{V} dz = - \int_L^{\infty} \operatorname{div}_z \rho \vec{V} dz \right]$$

eşitliği bulunur. Bu ifadenin yorumu şöyle yapılabilir: ($S-L$) seviyesinde (aşağıda) diverjans varsa ($L-\infty$) seviyesinde de konverjans mevcut olacaktır. Ara yerde son diverjans seviyesi olmalıdır. Bu seviye takriben 500 mb. yüksekliğine tekabül eder.

Buna göre, 300 ml. seviyesi yüksek seviye konverjansını gösterirse, yerde ya da 850 mb. seviyesinde diverjans görülecektir. İfadesinin tersi de doğrudur. Üstte diverjans varsa, altta konverjans olacaktır.

6. Tandans Denklemi (Margules-Bjerknes Denklemi):

Verilen bir noktadaki basınç değişiminin matematiksel ifadesi önce Margules tarafından, sonra da Bjerknes tarafından çıkarıldı. Bunun için hidrostatik eşitlik ve devamlılık denklemi kullanılır:

$$\frac{\partial p}{\partial z} = -g f \quad , \quad \partial p = -g f \partial z$$

Belli bir (L) seviyesinden (∞)'a kadar integral alınarak :

$$\int_L^{\infty} \partial p = \int_L^{\infty} -g f \partial z \quad , \quad p = \int_L^{\infty} g f \delta z$$

bulunur. Basıncın zamanla değişimi (tandansı) :

$$\frac{\partial p}{\partial t} = \frac{\partial}{\partial t} \int_L^{\infty} g f \delta z = \int_L^{\infty} g \frac{\partial f}{\partial t} \delta z$$

olarak yazılabilir. Öte yandan devamlılık denklemi :

$$-\frac{\partial f}{\partial t} = \frac{\partial}{\partial x} (\rho u) + \frac{\partial}{\partial y} (\rho v) + \frac{\partial}{\partial z} (\rho w) = \vec{\nabla} \cdot (\rho \vec{V})$$

olarak veriliyordu. Buńı basınç denkleminde yerine koyarsak:

$$\frac{\partial p}{\partial t} = - \int_L^{\infty} g \vec{\nabla} \cdot (\rho \vec{V}) \delta z \quad \text{veya açarak :}$$

$$\frac{\partial p}{\partial t} = - \int_L^{\infty} g \left[\frac{\partial}{\partial x} (\rho u) + \frac{\partial}{\partial y} (\rho v) + \frac{\partial}{\partial z} (\rho w) \right] \delta z$$

Buradan da :

$$\frac{\partial p}{\partial t} = - \int_L^{\infty} g \left[\frac{\partial}{\partial x} (\rho u) + \frac{\partial}{\partial y} (\rho v) \right] \delta z - \int_L^{\infty} g \frac{\partial}{\partial z} (\rho w) \delta z$$

Böylece (w) ihtiyaca eden terimi ayrı bir integral olarak ifade etmiş oluyoruz. Son ifade aşağıdaki şekilde de yazılabilir :

$$\frac{\partial P}{\partial t} = - \int_0^{\infty} g \vec{\nabla}_2 (\rho \vec{V}) \delta z - \int_0^{\infty} g \frac{\partial}{\partial z} (\rho w) \delta z$$

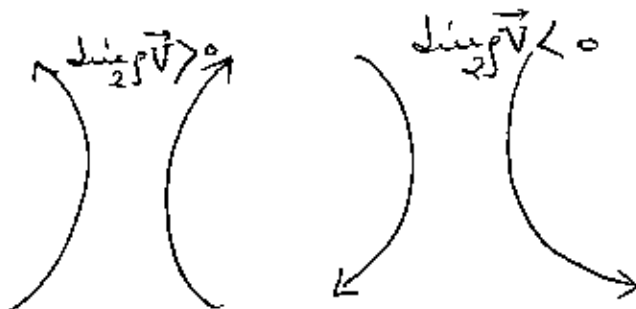
Yani :

$$\frac{\partial P}{\partial t} = - \int_0^{\infty} g \text{div}_2 (\rho \vec{V}) \delta z - \int_0^{\infty} g \frac{\partial}{\partial z} (\rho w) \delta z$$

sağ taraftaki son terim (∞) için ($w \neq 0$) halini alır. Böylece:

$$\frac{\partial P}{\partial t} = - \int_0^{\infty} g \text{div}_2 (\rho \vec{V}) \delta z + (g \rho w)_L$$

Bu eşitliği inceliyecek olursak, sağ taraftaki ilk terin negatif diverjansı, yani konverjansı göstermektedir. (L) seviyesinin üstünde bir konverjans varsa $\frac{\partial P}{\partial t} > 0$ olur, yani basınçlar zamanla artar. İkinci terimde $w > 0$ ise, yani gözlem seviyesi olan (L)'nin üstünde dikey hareket varsa, (L) seviyesinde yine 0 olacak, yani basınçlar artmış olacaktır.



Öte yandan eşitliğin sağ tarafındaki birinci terim kütle diverjansını göstermektedir. Kütle diverjansı da:

$$\text{div}_2 \rho \vec{V} = \vec{\nabla}_2 \cdot \rho \vec{V} = \rho \text{div}_2 \vec{V} + \vec{V} \vec{\nabla}_2 \rho$$

olarak verilir. Bunlardan ilk terim hız diverjansı, ikincisi de yoğunluk adveksiyon terimidir. Bu ifadeleri tandans denkleminde yerine koyarsak:

$$\frac{\partial p}{\partial t} = - \int_{-\infty}^{\infty} g \rho d\vec{u}_z \vec{v} \delta z - \int_{-\infty}^{\infty} g \vec{v} \vec{\nabla}_z \rho \delta z + (g \rho w)$$

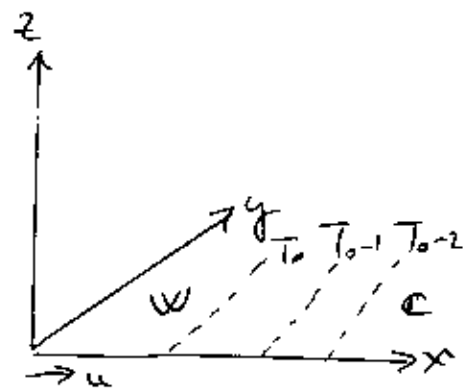
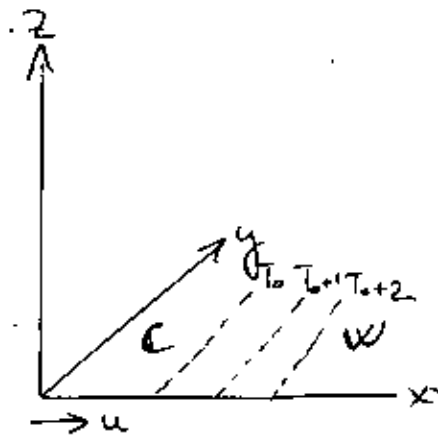
sağ taraftaki ilk terim hız diverjans terimidir. İkincisi adveksiyon terimidir, üçüncüü dikey hareket terimidir. Önce üçüncü terimi inceliyelim; örnek olarak 700 mb.lik seviyede $w=2\text{cm/sn}$. verilsin. $\rho = 10^{-3} \text{ gm/cm}^3$, $\vec{g} \cong 10^3 \text{ cm s}^{-2}$.

$$g \rho w = 10^{-3} \cdot 10^3 \cdot 2 = 2 \text{ dm cm}^{-2}/\text{sn} = 22 \text{ mb/3 saat}$$

3 saat içinde 22 milibarlık bir artış çok büyüktür. Buradan şu netice çıkar: Basıncın bu kadar yükselmesi için ilk iki terim (kütle diverjans terimi) dengeleyici bir faktör vazifesi görmektedir.

Tandans denkleminin ilk terimi hız diverjans terimi olarak veriliyordu. İlk terime göre verilen bir (L) seviyesinin üstünde (örneğin 850 mb. veya 900mb.da) konverjans varsa, (negatif diverjans) basınçlar yükselecek, diverjans varsa, basınçlar düşecektir.

Öte yandan ikinci terim için (L) seviyesinin üstünde bir yoğunluk adveksiyonu varsa $\frac{\partial p}{\partial t} > 0$ olacaktır. Yoğunluk adveksiyonu sabit bir basınç için, sıcaklık adveksiyonu ile ilgili dir.



$$\frac{\partial T}{\partial x} > 0 \text{ (soğuk adveksiyon)} \quad \frac{\partial T}{\partial x} < 0 \text{ (sıcak adveksiyon)}$$

İkinci terim olan adveksiyon terimini, (ρ) yerine (T) olarak yazarsak;

- 1) Eğer $\nabla \cdot \vec{V} T > 0$ ise, soğuk adveksiyonu ifade eder $(u \frac{\partial T}{\partial x} + v \frac{\partial T}{\partial y}) > 0$
- 2) Eğer $\nabla \cdot \vec{V} T < 0$ ise, sıcak adveksiyonu vardır: $(u \frac{\partial T}{\partial x} + v \frac{\partial T}{\partial y}) < 0$

Bu durumda (L) seviyesinin üzerinde soğuk adveksiyon varsa, integralin dışındaki (-) işaret yerinde kalacak ve basınçlar artacaktır. ($\frac{\partial \rho}{\partial t} > 0$). Eğer (L) seviyesinin üzerinde sıcak adveksiyon varsa, 2. terim pozitif olacak ve basınçlar düşecektir. ($\frac{\partial \rho}{\partial t} < 0$).

2. Kararsızlık Değişim Denklemi :

Potansiyel sıcaklık: $\theta = T \left(\frac{1000}{p} \right)^{\frac{1}{k}}$ olarak veriliyor.

Burada ($k=0,288$), T , (p) basınç seviyesindeki sıcaklık, p : Basınç seviyesi ise, 1000 mb.daki potansiyel sıcaklığıdır. Kuru adyabatik bir harekette θ daima sabittir. ($\frac{d\theta}{dt} = 0$) potansiyel sıcaklığının mahalli değişimini değişik basınç seviyeleri için yazacak olursak:

$$\theta = \theta(x, y, z, t)$$

$$d\theta = \frac{\partial \theta}{\partial x} dx + \frac{\partial \theta}{\partial y} dy + \frac{\partial \theta}{\partial z} dz + \frac{\partial \theta}{\partial t} dt$$

$$\frac{d\theta}{dt} = \frac{\partial \theta}{\partial x} u + \frac{\partial \theta}{\partial y} v + \frac{\partial \theta}{\partial z} w + \frac{\partial \theta}{\partial t}$$

$\frac{d\theta}{dt} = 0$ olacağinden: (Kuru adyabatik bir hareket için)

$$\left(\frac{\partial \theta}{\partial t} \right)_p = - \nabla_p \theta - \frac{1}{w} \frac{\partial \theta}{\partial p} \quad \text{yazılabilir.}$$

Burada, Z ekseni yerine (p) konulmuştur. Ve $w = \frac{dp}{dt}$ olur.

Bu ifadeye göre, potansiyel sıcaklığın bir (p) seviyesindeki değişimini, yatay ve dikey adveksiyonlarla ilgiliidir. (İlk terimi yatay, ikinci terim dikey)

Doymamış bir havada, eğer aktüel lapse-rate, adyabatik lapse-rate'den daha küçükse, örneğin, aktüel lapse-rate $1^\circ/100 \text{ m.}$ den daha küçükse, $0,8^\circ/100 \text{ m.}$ $0,5^\circ/100 \text{ m.}$ gibi, bu takdirde hava kararlıdır. Bu kararlılığa hidrodinamik kararlı, veya statik kararlı da denir. Kararlı havanın bir başka anlamı da, potansiyel sıcaklığın yükseklikle artmasıdır. ($\frac{\partial \theta}{\partial z} > 0$) Bu taktirde isontropik yüzeyler (eşit potansiyel sıcaklık yüzeyleri) peş peşe olurlar. Eğer, iki isontropik yüzey arasında uzaklık ne kadar büyükse, hava o kadar kararlı olacaktır.

Kararlılık faktörü olarak :

$$S = \frac{1}{\theta} \frac{\partial \theta}{\partial z}$$

ifadesi tarif edilir. Eğer, (z) yerine (p) basınç seviyesi ele alınaca ,a, bu takdirde: (σ) ile gösterilen yeni bir faktör tarif edilir;

$$\sigma = - \frac{\partial \theta}{\partial p} \quad \text{dir.}$$

Bu son tarife göre, eğer potansiel sıcaklık (θ), (p) basıncı azaldıkça yükseklikle artıyorsa, kararlılık vardır. Bu durumda $\sigma > 0$ pozitif olur. Çünkü $\frac{\partial \theta}{\partial p} < 0$) Potansiel sıcaklığın değişim formülünü tekrar yazalım :

$$\left(\frac{\partial \theta}{\partial t} \right)_p = - \vec{V} \vec{\nabla}_p \theta - \frac{dp}{dt} \frac{\partial \theta}{\partial p}$$

Eğer formülün basınçla göre differansielini alırsak :

$$-\frac{\partial^2 \theta}{\partial p \partial t} = \frac{\partial \sigma}{\partial t} = \frac{\partial}{\partial p} (\vec{V} \cdot \vec{\nabla}_p \theta) + \sigma \frac{\partial}{\partial p} \left(\frac{dp}{dt} \right) - \frac{dp}{dt} \frac{\partial \sigma}{\partial p}$$

elde edilir. Burada :

$\frac{\partial}{\partial p} \frac{dp}{dt}$: hava kolonunun dikey kısalmasını ifade eder.
 $(w = \frac{dp}{dt})$ ise, izobarik yüzeylerdeki dikine hızdır.

Devamlılık (sureklilik) denklemi :

$$\frac{\partial u}{\partial x} + \frac{\partial v}{\partial y} = - \frac{\partial w}{\partial z} \text{ olarak veriliyordu. Bu ifade: } - \frac{\partial w}{\partial z} = dw \frac{\vec{V}}{\partial z}$$

olarak da yazılıyordu. $\frac{\partial w}{\partial z}$ yerine:

$$\frac{\partial w}{\partial z} = \frac{\partial \left(\frac{dp}{dt} \right)}{\partial z} \text{ yazılabilir. (z) yerine (p) korsak:}$$

$$- \frac{\partial}{\partial p} \left(\frac{dp}{dt} \right) = dw \frac{\vec{V}}{p} \text{ yazılır.}$$

Burada : $dw_p \vec{V}$: (p) basınç yüzeyindeki diverjansdır.

Son ifadeyi yukarıda yerine korsak :

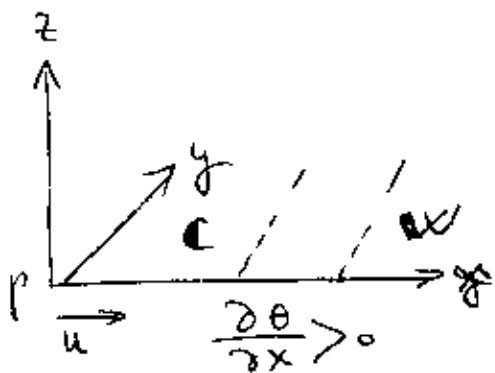
$$\frac{\partial \sigma}{\partial t} = \frac{\partial}{\partial p} (\vec{V} \cdot \vec{\nabla}_p \theta) + \sigma dw_p \vec{V} - \frac{dp}{dt} \frac{\partial \sigma}{\partial p}$$

yazılabilir. Bu denkleme göre: Verilen bir noktadaki kararlılık

$\frac{\partial \sigma}{\partial t}$ aşağıdaki şartlarla değişir.

i) Birinci terim adveksiyonu gösterir. Eğer:

$$\frac{\partial}{\partial p} (\vec{V} \cdot \vec{\nabla}_p \theta) > 0, \frac{\partial}{\partial p} \left(\frac{\partial \theta}{\partial x} + \frac{\partial \theta}{\partial y} \right) > 0 \text{ ise: } \frac{\partial \sigma}{\partial t} > 0 \text{ olur.}$$



Başka bir deyişle soğuk adveksiyon, p azaldıkça, azalması gerekektir. Bu, alt seviyede (p : büyük) soğuk adveksiyonun üst seviyede (p : küçük) sıcak adveksiyonun mevcut olması demektir. Ancak bu durumda kararlılık artar.

ii) İkinci terim diverjans terimidir. Mevcut (σ) kararlılığı izobarik yüzeydeki yatay diverjansla artar. Izobarik diverjansa, alan genişleyeceğiniinden, verilen bir hava kolonunun dikey uzunluğu kısaltılmış olacaktır.

iii) Üçüncü terim dikey hız terimidir. Eğer subsidans varsa kararlılık artmış olacaktır.

B Ö L Ü M - V

V O R T İ S İ T Y

VORTİSİTY KAVRALMI :

Vortisity, teorik meteorolojinin en önemli konusudur. Vortisity, dönen bütün cisimlere tatbik edilebilir. Buna göre, arzın da kendi eksenin etrafında dönüşünden dolayı, bir vortisity'ye sahip olacağını söyleyebiliriz. Matematiksel olarak, herhangi bir dönüşün veya sirkülasyonun ifadesi aşağıdaki gibi verilir:

$$C = \oint (u dx + v dy + w dz)$$

Burada, u, v, w ; x, y, z eksenleri üzerindeki hız bileşenleridir. dx, dy ve dz ise, eksenler üzerindeki yer değiştirmeleridir. (C) Sirkülasyonu ifade eder. Eğer, yatay bir düzlem nazara alınacak olursa, ($dz=0$) :

$$C = \oint (u dx + v dy)$$

halini alır. Yukardaki ifadelere göre, herhangi bir sirkülasyonun değeri, hız ile uzunluğun çarpımına eşit olacaktır. Buna göre v : herhangi bir hız, dz ise uzunluk olarak gösterilirse :

$$C = \oint v ds \quad \text{veya} \quad [dc = v \cdot ds] \quad (5.11)$$

ifadeleri yazılabilir.

Vortisity ise, dönüş (sirkülasyon) ile bir başka yön den ilgiliidir ve en genel şekliyle aşağıdaki ifade ile verilir:

$$C = \iint \Omega dA \quad \text{veya} \quad dC = \iint \Omega dA \quad (5.12)$$

Burada, dA : alan, Ω : vortisity, C ise sirkülasyondur. Örneğin, yarı çapı (r) ile gösterilen ve merkezinden geçen bir eksen etrafında dönen bir risk düşünelim. Bu takdirde (5.11) ve (5.12) denklemleri yardımıyla (Ω) vortisity değeri hesaplanabilir.

$dC = V \cdot ds = V \cdot 2\pi r$ olur. $ds = 2\pi r$ (diskin çevresi)

(5.12) ifadesinden : $dC = \frac{1}{A} dA$ veya:

$$\frac{1}{A} = \frac{dC}{dA} = \frac{2\pi r \cdot V}{\pi r^2} = \frac{2V}{r}$$
 (5.13) bulunur.

Diğer yandan dönen bir diskin açısal hızı (w) dönüş hızı ile doğru, diskin yarıçapı ile ters orantılıdır. Yani açısal hız : $w = \frac{V}{r}$ olarak verilir. Son ifade (5.13) formülünde yerine konursa :

$$\frac{1}{A} = 2w \quad (5.14)$$

İfadesi olde edilir. Burada, $\frac{1}{A}$ vortisity olup, dönüş eksenine çakışık yani, (dA) alanına dik olan bir vektörle ifade edilebilir. (w) diskin açısal hızıdır. Buna göre dönen bir diskin vortisity'si diskin, açısal hızının iki katı büyüklüğünde olmaktadır.

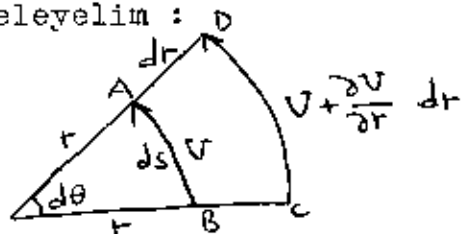
Yukarda verdığımız disk misalinde dönüş tamamlanmıştır. Yani diskin kenarı üzerinde işaretlenecek bir noktası, bir dönüş devresinden sonra, tekrar gözlemciye görülecektir. Dönüş tamamlanmadığı zaman yani herhangi eğrisel bir yörüngede üzerinde hareket eden, herhangi bir parçacık, vortisity'e sahip olmıyacaktır diyezeyiz. Ancak, eğrisel bir yörünğede hareketli parçacığın vortisity'si, disk misalindeki gibi hesaplanamaz. Hesaba bir de shear terimi girecektir. Ürneğin, kıvrılarak akıp giden bir nehirin üzerindeki küçük bir tahta parçası nehir yatağının eğrisel bir yörünğede hareket etmesinden dolayı, bir vortisity'e sahip olacaktır. İkinci olarak da, nehirin düzgün aktığı yerlerde, akıntıının değişik olması nedeniyle tahta parçasının iki ucuna tattık edilen hızlar farklı olabilir, Bu nedenle, tahta parçası siklonik veya antisiklonik olarak dönebilir. Bu dönüste, birinciden tamamen ayrı bir özellikte olduğundan vortisity hesaplarında kullanılmalıdır.

Kabul edilmiş olan düşünceye göre, siklonik yörüngे ile, siklonik Shear pozitif (+) vortisity'e antisiklonik yörüngे ile antisiklonik Shear, negatif (-) vortisity'e sahiptir denir.

Atmosfere gelince : Geostrofik bir rüzgar için, akış tozalanen düz olacağından ve hızda da ani değişimeler görülmeyeceğinden, vortisity sıfır olacaktır. Buna karşılık, oluk ve sırtlar, sahip oldukları karakteristik yörüngelerinden ötürü (+) ve (-) vortisity'e sahiptirler.

Yörüngə Terimi ve Shear Terimi Hesabı :

Şimdi vortisity denkleminde yörüngə ve Shear terimin nasıl hesaplanığını inceleyelim :



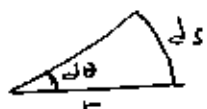
(Şekil-24)

ABCD alanı için, sirkülasyonu hesaplıyalım. Daha önce de gördük ki, sirkülasyon = uzunluk x hız olarak verilmişti. Önce (A) noktasından başlayarak; sirkülasyonu yazalım :

$$AB \text{ için dönüş : } dC_{AB} = -Vrd\theta$$

Burada, V: hız, r.dθ ise uzunluktur. Çünkü, küçük açılar için, (bk.Şekil-24) yay uzunluğu, yarıçapla açısının çapına eşittir.

Yani,



$$d\theta = \frac{ds}{r} \text{ veya, } ds = rd\theta$$

AB için yazılıan değerde (-) işaretin, dönüşün ters olduğunu ifade eder.

BC için dönüş olmadığından, $dC=0$ olur.
(Ec)

$$CD \text{ için dönüş : } dC = \underbrace{\left(V + \frac{\partial V}{\partial r} dr \right)}_{\text{hız}} \cdot \underbrace{(r + dr) d\theta}_{\text{uzunluk}}$$

DA için dönüş olmediğinden $dC=0$ olur.

Toplam olarak dönüşü (sirkülasyon) yazarsak :

$$J_C = AB + BC + CD + DA \quad \text{veya,}$$

$$J_C = -Vr d\theta + 0 + \left(V + \frac{\partial V}{\partial r} dr \right) (r + dr) d\theta + 0$$

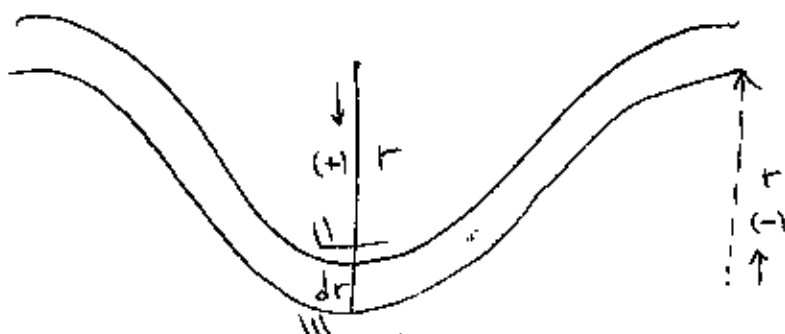
$$J_C = -Vr d\theta + Vr d\theta + Vdr d\theta + dr d\theta \frac{\partial V}{\partial r} d\theta + \frac{\partial V}{\partial r} (dr) d\theta$$

Son terim (dr) çok küçük olduğundan, ihmal edilebilir. Alan olarak $dA = dS \cdot dr$ yazabiliyoruz. (Alan, dikdörtgen gibi düşünülebilir) Bu takdirde: $dC = Vdr d\theta + rdr \frac{\partial V}{\partial r} d\theta$ olarak verilmektedir. $dA = dS \cdot dr = rd\theta dr$ olarak bellidir. Buna göre, vortisity formülünden:

$$\zeta = \frac{J_C}{J_A} = \frac{Vdr d\theta + rdr \frac{\partial V}{\partial r} d\theta}{r d\theta dr} = \frac{Vdr d\theta}{r d\theta dr} + \frac{r d\theta d\theta \frac{\partial V}{\partial r}}{r d\theta dr}$$

$$\left[\zeta = \frac{V}{r} + \frac{\partial V}{\partial r} \right] \quad (5.15)$$

formülü elde edilir. Bu formülde ilk terim, yörüngə terimidir. İkinci terim, Shear terimidir, V , parçacığın hızı, $\frac{\partial V}{\partial r}$, hız değişimi, r , yörüngenin yarıçapı ve $\frac{\partial V}{\partial r}$ ise, bu yarıçap üzerinde alınan küçük bir uzunluktur.

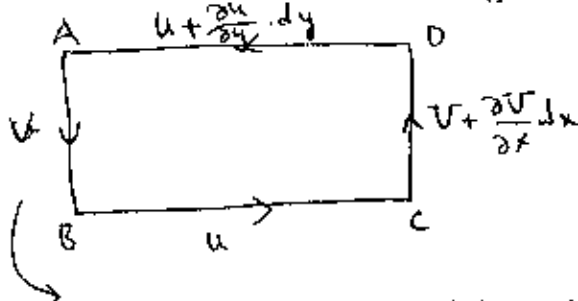


(Şekil-25)

r Yarıçapı, dairesel olukların bulunduğu yerlerde (+), sırtların bulunduğu yerlerde de (-) olarak alınır. Bu nedenle, (5.15) denkleminde, oluk için (+) yani pozitif vortisity, sırt için de (-), yani negatif vortisity olacaktır.

Vortisity Denklemi (Karteziyen Koordinatlararda):

ABCD gibi herhangi bir dikdörtgenin siklonik olarak dönüşü sırasında, hız olacaktı vortisity'ı hesaplamaya çalışalım.



Siklonik bir dönüştür:

$$C = \oint (u dx + v dy)$$

$dA = dx dy$ dersek:

$$dC = -v dy + u dx + (v + \frac{\partial v}{\partial x} dx) dy - (u + \frac{\partial u}{\partial y} dy) dx$$

$$dC = -v dy + u dx + v dy + \frac{\partial v}{\partial x} dx dy - u dx - \frac{\partial u}{\partial y} dx dy$$

$$dC = \left(\frac{\partial v}{\partial x} - \frac{\partial u}{\partial y} \right) dx dy = \left(\frac{\partial v}{\partial x} - \frac{\partial u}{\partial y} \right) dA$$

$$\left[\begin{array}{l} \{ \\ \} = \frac{dC}{dA} = \frac{\partial v}{\partial x} - \frac{\partial u}{\partial y} \end{array} \right]$$

(5.16) Bu denklem xy düzlemindeki vortisity ifadesidir.

Aynı şekilde xz ve yz düzlemindeki vortisity : $\omega_x = \frac{\partial u}{\partial z} - \frac{\partial w}{\partial x}$, $\omega_y = \frac{\partial w}{\partial y} - \frac{\partial u}{\partial z}$

$\{$: Vortisity'nin dikey bir bilesenidir. xy yatay seviyesidir.

Arz'ın Vortisiti, Nutlak ve Relatif Vortisity :

Arz da ekseni etrafında dönen bir cisim olduğu için, bir vortisity'e sahiptir. Vortisity'nin değeri, yine enlem derecesinin sünüsü ile değişmektedir. Vortisity, kutuplarda max. değerindedir, çünkü arzin dönüş eksenini, tam kutuptan geçmektedir. Ekva-

torda ise, vortisity sıfır olur. Arzın herhangi bir yerindeki vortisity değeri : $f = 2\Omega \sin\phi$ değeri ile verilir.

Different taraftan arz yüzeyi üzerinde, tek başına kendi eksenini etrafında dönüş yapan herhangi bir cisim veya meselâ hava içindeki bir parselin dönüğü de ayrı bir vortisity değerine sahip olacaktır. Arzın vortisity'si hesaba katılmaksızın, cismin bizzat kendisinin havz olacağı vortisity değerine "relatif vortisity" adı verilir. Bu vortisity hakikaten "relatif"değerde olacaktır, zira cismin vortisitisi, arza göre hesaplanmış olacaktır. Relatif vortisitiyi ($\frac{\partial}{\partial t} f + \frac{\partial}{\partial t} \psi$) ile gösterirsek, toplam veya mutlak vortisitiyi de tanımlayabiliriz. Mutlak vortisity, arzin vortisitisi ile cismin kendi vortisitisi toplamına eşittir. Kabul edilen teoriye göre, mutlak vortisity, daima sabittir. Yani:

$$f + \frac{\partial}{\partial t} \psi = \text{sabit}$$

Zemana göre türevini alacak olursak :

$$\frac{d}{dt} (f + \frac{\partial}{\partial t} \psi) = \frac{df}{dt} + \frac{\partial^2 \psi}{\partial t^2} = 0$$

$$\text{Son ifadeden de : } \frac{\partial^2 \psi}{\partial t^2} = - \frac{df}{dt} \quad (5.17)$$

(f) Aynı zamanda Coriolis değişken olarak verilmiştir.

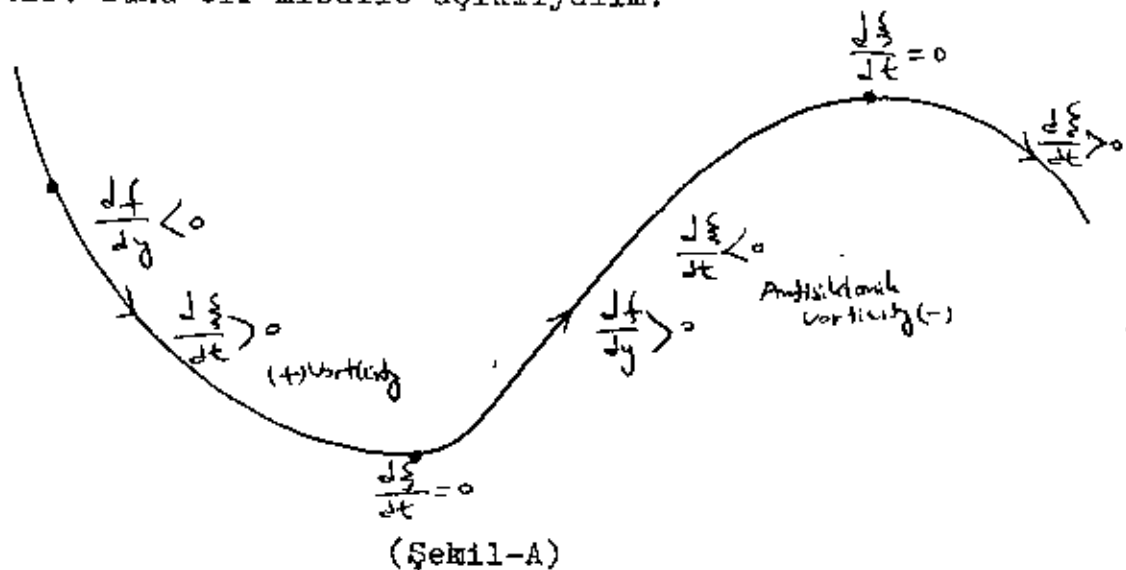
(f) enlem derecesine göre, değişmektedir. (5.17) ifadesi :

$$\frac{d\psi}{dt} = - \frac{df}{dy} \cdot \frac{dy}{dt} = - V \frac{df}{dy} \quad \text{veya :}$$

$$\left[\frac{d\psi}{dt} = - V \frac{df}{dy} \right]$$

(5.18) ifadesi elde edilir.

Buradaki V , hareketlinin y ekseni üzerindeki hız bileşenidir. $\frac{df}{dy}$ ise, arz vortisitisinin y ekseni boyunca, yani güney-kuzey doğrultusu boyunca değişim miktarıdır. Aslında bu değişim $f = 2\alpha \sin \phi$ formülünde değişken olan yalnız (ϕ) enlem derecesi ile ilgiliidir. (5.18) formülüne göre, meselâ kuzeyden güneye hızla inen bir hava parselinin haiz olacağı vortisity ($\frac{d\zeta}{dt}$) ve bu vortisity'nin değişimini ($\frac{d^2\zeta}{dt^2}$); parselinın V hızı ile arz vortisitisinin y ekseni boyunca değişiminin çarpımına eşit olacaktır. Bunu bir misalle açıklıyalım.



Kuzeyden güneye, meselâ bir oluk boyunca hareket eden herhangi bir hava parselinin haiz olacağı relativ vortisity değişimini hesaplıyalım. (5.18) formülüne göre :

$$\frac{d\zeta}{dt} = -V \frac{df}{dy}$$

(5.18)

Burada, kuzeyden güneye olan bir hareket için $\frac{df}{dy} < 0$ olacaktır. Başka bir deyişle, aşağı onelerde inildikçe ϕ azalacak, buna bağlı olarak f azalacak ve neticede ($\frac{df}{dy}$) negatif olacaktır. $\frac{df}{dy} < 0$ değeri için (5.18) ifadesinin sağ tarafında zaten

mevcut negatif işaretin dolayısıyla $\frac{\partial \psi}{\partial t} > 0$ pozitif olacaktır.
 (bk. Şekil-A) $(\frac{\partial \psi}{\partial t})$ nin pozitif olması daha önce de belirttiğimiz gibi siklonik dönüşe tekabül etmektedir. Şu halde kuzeyden güneye boylu boyunca hareket eden bir hava akımı, aşağı enlemlere yaklaşıkça, (ϕ) enlem derecesinin küçülmesi nedeniyle, siklonik bir dönüş yapmağa, dolayısıyla (+) vortisity'e sahip olmaya zorlanacaktır. Akımın batılı olduğu yerde (ϕ) enlem derecesi sabittir. $f = \text{Sabit}$ olacağından (aynı zamanda $V=0$) $\frac{\partial \psi}{\partial t} = 0$ olacaktır. Yani burada vortisity değişimi sıfırdır. Hareketine bu defa güneyli akımlar halinde devam eden hava yukarı enlemlere doğru çıkarken (f) 'nin artmasından ötürü $\frac{\partial \psi}{\partial y} > 0$, (5.18) ifadesine göre, negatif vortisity'e sahip olacaktır. Bu defa vortisity değişimi $\frac{\partial \psi}{\partial t} < 0$ olacak, yani negatif değerde olacaktır. Negatif vortisity ise, antisiklonik dönüş olan yerlerde mevcuttur. Sırtın tepesine böylece ulaşan hava parseli yine kısa bir süre aynı enlem boyunca batıya doğru hareket edecek, dolayısıyla sıfır vortisity'e değişimine haiz olacaktır. Sırtın tepesinden aşağıya inen akım, bu defa ilk durumda gibi (+) vortisity'e malik olacaktır.

x, y, p, t Düzleminde Vortisity Denkleni :

(Vortisity-Diverjans İlişkisi)

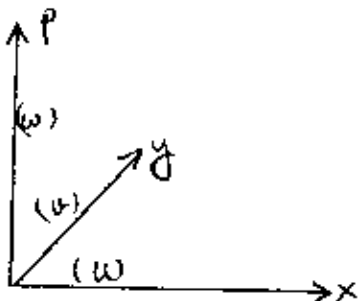
(3.13) Denklemleri yatay bir düzlemede hareket denklemlerini ifade ediyorlardı. Bu denklemleri tekrar yazarsak:

$$\frac{\partial u}{\partial t} = - \frac{1}{g} \frac{\partial p}{\partial x} + fv \quad \text{ve} \quad \frac{\partial v}{\partial t} = - \frac{1}{g} \frac{\partial p}{\partial y} - fu \quad (3.13)$$

Burada matematiksel olarak :

$$\frac{du}{dt} = \frac{\partial u}{\partial x} + u \frac{\partial u}{\partial x} + v \frac{\partial u}{\partial y} + w \frac{\partial u}{\partial p}$$

eşitliğini yazılabilir. Daha önce belirttiğimiz gibi koordinat sisteminde Z eksenini, yerden yukarı doğru olan eksenin ifade etmektedir. Z Eksenin yerine, meteorolojide kullanılan sabit basınç haritaları göz önüne alınarak, dikey eksen olarak (p) basınç eksenini kullanılabılır. (bk-Şekil:25)



x,y,p Koordinatları
(Şekil-25)

bilir:

Hareket denklemleri :

$$\frac{\partial u}{\partial t} = u \frac{\partial u}{\partial x} + v \frac{\partial u}{\partial y} + w \frac{\partial u}{\partial p} = -\frac{1}{\rho} \frac{\partial p}{\partial x} + fv$$

$$\frac{\partial v}{\partial t} = u \frac{\partial v}{\partial x} + v \frac{\partial v}{\partial y} + w \frac{\partial v}{\partial p} = -\frac{1}{\rho} \frac{\partial p}{\partial y} - fu$$

Hareket denklemlerini düzenleyip, her iki tarafı $\left(\frac{\partial}{\partial y}\right) ve \left(\frac{\partial}{\partial x}\right)$ ile çarparak :

$$\frac{\partial}{\partial y} \left(\frac{\partial u}{\partial t} + u \frac{\partial u}{\partial x} + v \frac{\partial u}{\partial y} + w \frac{\partial u}{\partial p} - fv \right) = \frac{\partial}{\partial y} \left(-\frac{1}{\rho} \frac{\partial p}{\partial x} \right)$$

$$\frac{\partial}{\partial x} \left(\frac{\partial v}{\partial t} + u \frac{\partial v}{\partial x} + v \frac{\partial v}{\partial y} + w \frac{\partial v}{\partial p} + fu \right) = \frac{\partial}{\partial x} \left(-\frac{1}{\rho} \frac{\partial p}{\partial y} \right)$$

Bu iki eşitliği taraf tarafa çıkartalım. Sağ taraflar birbirini
götürecekinden, geriye :

$$\frac{\partial^2}{\partial y \cdot \partial t} + u \frac{\partial^2 u}{\partial y \cdot \partial x} + \frac{\partial u}{\partial y} \cdot \frac{\partial u}{\partial x} + v \frac{\partial^2 u}{\partial y^2} + \frac{\partial u}{\partial y} \frac{\partial v}{\partial y} + \frac{\partial}{\partial y} \left(w \frac{\partial u}{\partial p} \right) - \frac{\partial}{\partial y} (fu) \quad A$$

$$- \frac{\partial^2 v}{\partial x \cdot \partial t} - u \frac{\partial^2 v}{\partial x^2} - \frac{\partial u}{\partial x} \frac{\partial v}{\partial x} - v \frac{\partial^2 v}{\partial y \cdot \partial x} - \frac{\partial v}{\partial x} \frac{\partial v}{\partial y} - \frac{\partial}{\partial x} \left(w \frac{\partial v}{\partial p} \right) - \frac{\partial}{\partial x} (fv) = 0 \quad B$$

eşitlikteki (A) ve (B) terimleri, dikey hareket ihmal edilirse
ortadan kalkar :

$$u \frac{\partial}{\partial x} \left(\frac{\partial u}{\partial y} - \frac{\partial v}{\partial x} \right) + v \frac{\partial}{\partial y} \left(\frac{\partial u}{\partial y} - \frac{\partial v}{\partial x} \right) + \frac{\partial u}{\partial x} \left(\frac{\partial u}{\partial y} - \frac{\partial v}{\partial x} \right) + \frac{\partial^2 u}{\partial y \cdot \partial t}$$

$$- \frac{\partial^2 v}{\partial x \cdot \partial t} + \frac{\partial v}{\partial y} \left(\frac{\partial u}{\partial y} - \frac{\partial v}{\partial x} \right) = \frac{\partial}{\partial y} (fv) + \frac{\partial}{\partial x} (fu)$$

İşaret edelim ki, $\zeta = \frac{\partial v}{\partial x} - \frac{\partial u}{\partial y}$ olarak veriliyor.

$$\frac{\partial u}{\partial y} - \frac{\partial v}{\partial x} = - \zeta \quad \text{olacağinden :}$$

$$- u \frac{\partial \zeta}{\partial t} - v \frac{\partial \zeta}{\partial y} - \frac{\partial u}{\partial x} \left\{ \frac{\partial v}{\partial y} \right\} + \frac{\partial^2 u}{\partial y \cdot \partial t} - \frac{\partial^2 v}{\partial x \cdot \partial t}$$

$$= f \frac{\partial v}{\partial y} + v \frac{\partial f}{\partial y} + f \frac{\partial u}{\partial x} + u \frac{\partial f}{\partial x}$$

aynı zamanda; hatırlatalım ki, $\frac{df}{dt} = \frac{\partial f}{\partial t} + u \frac{\partial f}{\partial x} + v \frac{\partial f}{\partial y}$
olur. Bu ifadeyi yukarıdaki eşitliğin sağ tarafına yerine korsak:

$$-u \frac{\partial \xi}{\partial x} - u \frac{\partial \xi}{\partial y} - \xi \left(\frac{\partial u}{\partial x} + \frac{\partial u}{\partial y} \right) - \frac{\partial \xi}{\partial t} = f \left(\frac{\partial v}{\partial y} + \frac{\partial u}{\partial x} \right) + \frac{df}{dt}$$

Diger taraftan : $\frac{d\xi}{dt} = \frac{\partial \xi}{\partial t} + u \frac{\partial \xi}{\partial x} + v \frac{\partial \xi}{\partial y}$ olur.

Böylece :

$$-\frac{d\xi}{dt} - \frac{df}{dt} = f \left(\frac{\partial v}{\partial y} + \frac{\partial u}{\partial x} \right) + \xi \left(\frac{\partial u}{\partial x} + \frac{\partial v}{\partial y} \right)$$

$$-\left(\frac{d\xi}{dt} + \frac{df}{dt} \right) = (f + \xi) \left(\frac{\partial u}{\partial x} + \frac{\partial v}{\partial y} \right)$$

veya :

$$\left[\frac{d\xi}{dt} + \frac{df}{dt} = - (f + \xi) \operatorname{div}_2 \vec{V} \right]$$

veya :

$$\left[\frac{d(f + \xi)}{dt} = - (\xi + f) \operatorname{div}_2 \vec{V} \right]$$

$$\left[\frac{1}{\xi + f} \frac{d}{dt} (\xi + f) = - \operatorname{div}_2 \vec{V} \right]$$

$$\frac{d(\xi + f)}{dt} = - (\xi + f) \operatorname{div}_2 \vec{V}$$

1) Simdi yukarıdaki formülden bazı neticeler çıkarmağa çalışalım.

Her iki tarafın (-1) ile çarpılması sonucu :

$$-\frac{d}{dt} (\xi + f) = (\xi + f) \operatorname{div}_2 \vec{V}$$

eşitliğin sağ tarafı pozitiftir. Şu halde akımda diverjans (+ diverjans) mevcutsa ($\xi + f$) ile gösterilen mutlak (absolute) vortisiti, negatif olacaktır. Başka bir debole, vortisity antisiklonik vortisity ismini alır. Eğer (f) arzın vortisitisinin sabit kaldığı-

ni ($\frac{df}{dt} = 0$) düşünürsek, kendi başına relativ vortisity $\frac{d\zeta}{dt} < 0$ olacaktır. Netice olarak diverjansa sahip bir akımda, vortisity negatiftir. Yani, antisiklonik vortisity mevcuttur.

2) Yukardaki formüle göre: eşitliğin sağ tarafı negatiftir (negatif diverjans = konverjans) $\frac{d\zeta}{dt} + \frac{df}{dt} = -(\zeta + f)$. Bu takdirde vortisity (+) olur. Yani konverjanslı bir akımda, mutlak vortisity veya relativ vortisity, siklonik bir vortisitidir. ($\frac{d\zeta}{dt} > 0$).

3) Eğer akımda diverjans yoksa, (bu takdirde konverjans da sıfır olur) mutlak vortisity daima sabittir. Yukardaki formülden :

$$\frac{d}{dt}(\zeta + f) = 0 \text{ veya } [\zeta + f = \text{sabit}]$$

Diverjans sıfıra eşit olduğu zaman :

$$\frac{d\zeta}{dt} + \frac{df}{dt} = 0 \Rightarrow \frac{d\zeta}{dt} = -\frac{df}{dt} = -\frac{df}{dy} \cdot \frac{dy}{dt} = -U \frac{df}{dy}$$

yazılabilir.

$\frac{d\zeta}{dt} = -U \frac{df}{dy}$ halinde de, akımlar kuzeyli ise (+) siklonik vortisiti, güneyli ise (-) antisiklonik vortisity husule gelir.

4) $\frac{d}{dt}(\zeta + f) = -(\zeta + f) \frac{du_2}{dy} \vec{V}$ formülünü tekrar inceleyelim.

$$\frac{d\zeta}{dt} + \frac{df}{dt} = \frac{d\zeta}{dt} + \frac{df}{dy} \cdot \frac{dy}{dt} = \frac{d\zeta}{dt} + U \frac{df}{dy} = -(\zeta + f) \frac{du_2}{dy} \vec{V}$$

eğer $\frac{df}{dy}$ yani ($f = 2\omega \sin \phi$) eşitliği göz önünde tutularak (ϕ)ının değişimi ihmali edilecek kadar küçükse, $\frac{df}{dy} \approx 0$ olacağından, son ifade:

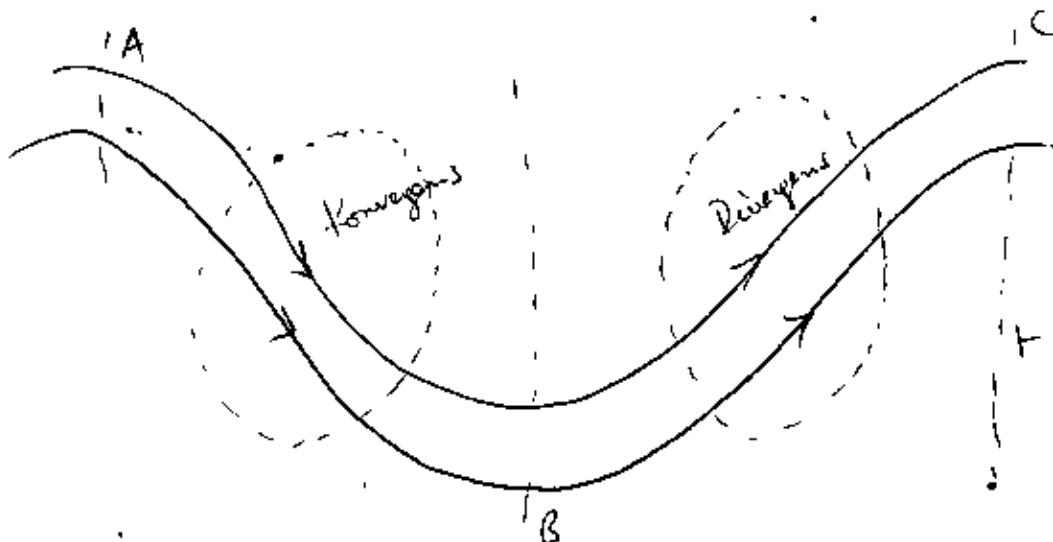
$$\frac{d\zeta}{dt} = -(\zeta + f) \frac{du_2}{dy} \vec{V}$$

şeklinde yazılabilir. Genellikle $f \approx 10^{-4}$ ve $\zeta = 10^{-5}, 10^{-6}$ değerine sahiptir. $f > \zeta$ olduğundan, ζ ihmali edilirse, yazılan ifade bu defa :

$$\frac{d\zeta}{dt} = -f \frac{du_x}{dz} \vec{v}$$

şeklini alır.

Bu formülü meselâ 300 mb. akışlara veya yer haritasındaki akışlara uygularsak simetrik bir oluk ve sırt hali için, Shear terimini ihmal edip, yörünge terimini dikkate alırsak (bk.Şekil-26)



(Şekil-26)

konturların birbirlerine平行 olduğu bir durum için, akışlar (A) ile (B) noktaları arasında siklonik bir dönüş arzetmektedir.

Shear terimini ihmal edersek yörünge terimi gittikçe artacak ve

$\frac{d\zeta}{dt}$ (+) siklonik vortisiteye sahip olacaktır. Diğer yandan

$$\frac{d\zeta}{dt} = -f \frac{du_x}{dz} \vec{v}$$

formülüne göre, $\frac{d\zeta}{dt} > 0$ olursa, eşitliğin sağ tarafındaki diverjans terimi (-) olacak, yani konverjans vuk'u bulacaktır. Şu halde A ile B arasında k overjans vuk'u bulur.

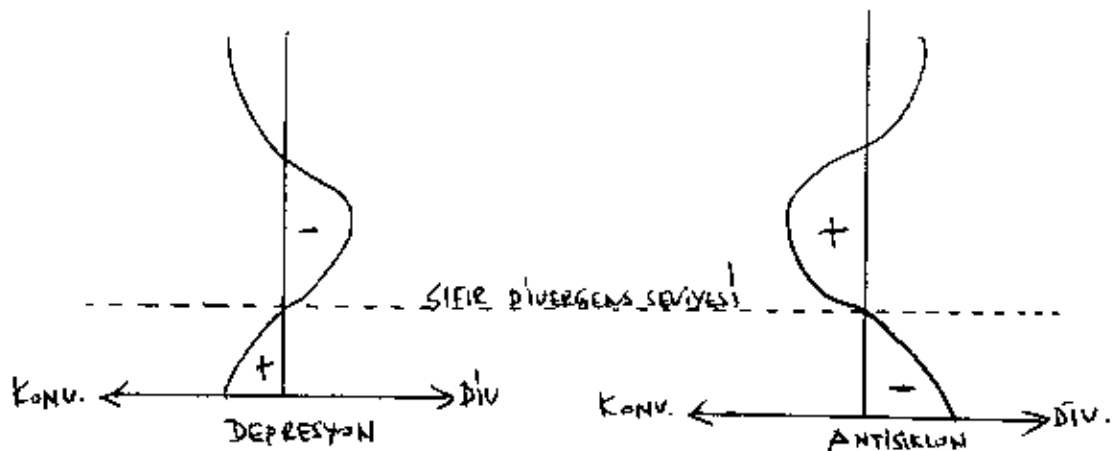
Şekil-26'ye göre, (B) ile (C) arasında ise, antisiklonik bir yörünge vardır. Buna göre negatif vortisity bu kısımda hakimdir. Böylece : $\frac{d\zeta}{dt} < 0$ olacağından :

$$-\frac{\partial \xi}{\partial t} = \int \text{div}_z \vec{v}$$

İfadesi yazılabilir. Pozitif diverjans, diverjans'ı ifade edecekinden B ile C arasında diverjans vektorunu bulacaktır. A ile B arasında bir hava birikimi söz konusu olacağından, buradaki basınçlar artacak, B ile C arasında ise, diverjans nedeniyle basınçlar düşecektir.

Buna göre, yer alçak basıncının önünde basınç düşüş zonları; yer yüksek basıncının önünde de basınç yükseliş zonları bulunacağından, alçak basınç sistemi basıncın düştüğü, yüksek basınç sistemi de basıncın yükseldiği yerlere doğru hareket edeceklerdir. Böylece sistemlerin hareketi batıdan doğuya doğru olacaktır.

Ancak, tekrar hatırlatmak gerekecektir ki, atmosferin 500 mb.-600 mb. seviyeleri arasında, diverjans sıfırdır. Yani şeşil olarak :



(Şekil-27)

Potansiyel Vortisiti:

Daha önceki ifadelerden gördükki;

$$\text{div}_z \vec{v} = \frac{1}{A} \cdot \frac{\partial A}{\partial t}, \quad \text{div}_z \vec{v} = -\frac{1}{\xi + f} \frac{\partial (\xi + f)}{\partial t}$$

yazılıyordu. Bu iki ifadeden :

$$\frac{1}{A} \frac{dA}{dt} = - \frac{1}{\zeta + f} \frac{d(\zeta + f)}{dt}$$

yazılabilir veya :

$$(\zeta + f) \frac{dA}{dt} = - A \frac{d}{dt} (\zeta + f)$$

veya :

$$\int A \frac{d}{dt} (\zeta + f) + \int (\zeta + f) \frac{dA}{dt} = 0$$

integral alınırımkı :

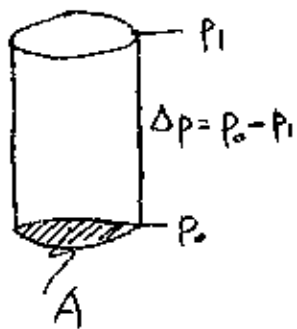
$$A(\zeta + f) = \text{sabit}$$

Burada A yatay kesit (alan), ζ izafi vortisity, f, arzın vortisitisidir. Bu ifadeyi belli kalınlıkta bir atmosfer tabakasına uygularsak atmosferik kolonun alt ve üst basınç seviyeleri farklı (Δp) ise, kesiti (A) olan bir atmosferik kolonda :

$$A \cdot \Delta p = \text{sabit yazılabilir.}$$

Buradan :

$$A(\zeta + f) = A \cdot \Delta p = \text{sabit veya:}$$



$$\frac{\zeta + f}{\Delta p} = \text{sbt.}$$

ifadesi bulumur.

Bu ifade nümerik hava istidlâllerinde önemli bir rol oynar ve geniş ölçüde kullanılır.

Bu ifade yardımıyla aynı zamanda orografik olukların veya alçak merkezlerin teşekkül sebeplerini de açıklamaktadır.

Kuzey, -güney doğrultusunda bir dağ silsilesini aşmakta olan batılı bir hava akışını göz önüne alalım : Akış batılı olduğu için izafi vortisity sıfırdır. ($\zeta = 0$) Dağa çarparak yükselen havanın ole alınan herhangi iki seviye arasındaki uzaklıçı, yükselme sıra-

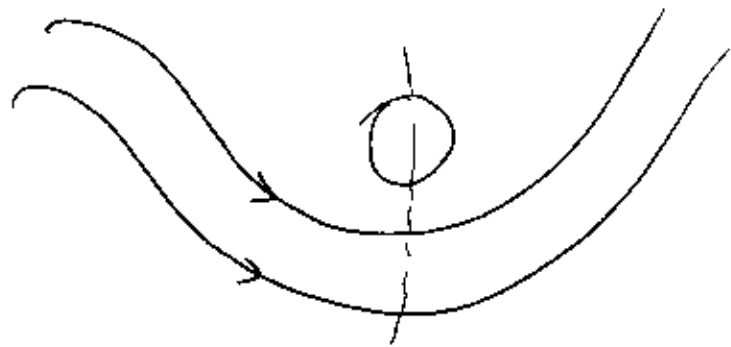
sında azalacak. Dolayısıyla (Δp) küçülecektir. Bu azalmanın min. değeri, dağın tam tepesinde görülecektir. Hava akımı, dağı aşık- dan sonra (Δp) tekrar büyüyecektir :



$$\frac{\xi + f}{\Delta p}$$

=Sabit ifadesine

före, dağ yamacından tırmanan havanın (Δp) basınç farkı azalaca- gından eşitliğin sabitdeğerde kalmasını temin için ($\xi + f$) terim- lerinin küçülmesi gereklidir. Halbuki, başlangıçta $\xi = 0$ değerdedi. Dağın yamacına yaklaşırken (ξ)nın artan değerlere, daha sonra da eksilen değerlere sahip olması gerekecektir. (ξ)nın artması, antisiklonik dönüşe sahip ve hava akımının da güney yönlerden ol- ması demektir. Dağın tam tepesinde (Δp) ve ($\xi + f$) minimum değer- dedir. Dağı aşan havanın (Δp) değeri bu defa sıttıkçe artarak, eşit- lik küçülecektir. Eşitliğin küçülmesini önlemek için de, ($\xi + f$) değeri de artmış olacaktır ki, kesrin değeri sabit kalabilsin. An- cak dağın tepesinde ve tepeye yakın yerlerde akım güneylidir. Gü- neyli akımlarda (f) artar. Ancak (f)'in bu ilâve artış değerinin tesirini azaltmak için, bu defa (ξ)nın azalması gerekecektir. (ξ) önce zayıflayan bir (-) değere (antisiklonik) sonra ise ar- tan bir (+) değere (siklonik) sahip olacaktır. Siklonik dönüş ise, kuzeyli rüzgârlarla mümkün olduğundan, dağın tepesinden aşağıya a- kan hava, burada kuzeyliyerek bir trof veya bir alçak merkez teşek- külüne sebebiyet verecektir.



(Yukardan bakış)

Alp dağlarından Greneva Körfezine akan kuzeyli rüzgârların burada bir oluk veya bir alçak merkez meydana getirmesi buna güzel bir misaldır.

Jet Stream ve Diverjans :

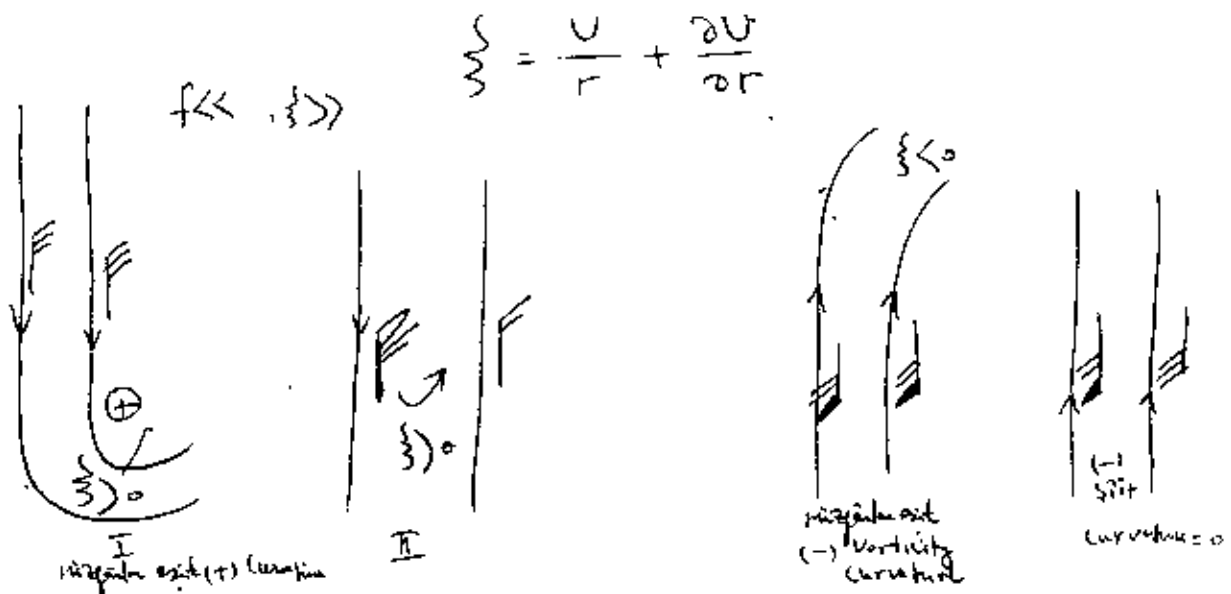
Bir jet akımı boyunca, havanın girdiği ve çıktığı yerler, diverjans-konverjansla ve yer basınç sistemlerinin teşekkülü ile ilgilidir. Hava, jet eksene girerken hızlanır ve ekseni terkederek yavaşlar. Hava hareketinin bu hız değişimi ve akım boyunca görülecek rüzgâr shiiri, hareketin dengesiz olduğunu ifade eder. Üst seviyelerde görülecek bu dengesizliği kapamak için, yine üst seviyelerde görülecek konverjans ve diverjansla ilgili olarak yerde de yüksek ve alçak basınçlar teşekkül eder.

Göz önüne alınan bir oluk-sut modelinde :

trofunkerasinde, havanın hızı, geostrofik rüzgârdan daha azdır. Veya başka bir deyişle, siklonik dönüşte, gradient rüzgâr geostrofik rüzgâr hızından daha küçüktür.

Vortisity'nin Sinoptik Meteoroloji'deki Önemi:

Çok eskiden beri bilinmekte olan bir kaideye göre, güneyden kuzeye doğru olan hava akımları (kuzey yarıkürede) neticcede antisiklonik bir dönüşle doğuya doğru dönmekte, buna mukabil kuzeyli akımlarda, siklonik bir dönüşle yine doğuya yönelmektedir. Bu kural, herhangi bir günde Sinoptik haritalarla genellikle uyuşur. Rosbby'ye göre, enlem derecelerini kat'ederek yol alan hava akımlarının mutlak vortisity'leri sabit kalmakta, ancak, izafî vortisity, değişmektedir. Öyleki, kuzeyli akışlarda siklonik vortisity artmaktadır $\{\}$). Bu ise, akımın siklonik bir yörüngeye geçeceğini veya siklonik bir rüzgâr shiir'ine sahip olması demektir. (Rüzgâr hızı, akımın sağ tarafından sol tarafına doğru azalacaktır)



tatbikatta, genellikle rüzgâr shiir'inden ziyade, akımların siklonik dönüşe sahip oluşu görülür. (kuzeyli akışlarda).

Literatür

- A.H.Gordon, MSc : Elements of Dynamic Meteorology
- Elmar R. Reiter : Jet-Stream Meteorology
- Severe Pettersen : Weather Analysis and Forecasting
Volume :I, Motion and Motion System
- Hewson and Longley : Meteorology; Theoretical and Applied
- Taşkin Tuna, LSc : Dinamik Meteoroloji Cilt:I
- Walter J. Saucier : Principles of Meteorological Analysis
- Seymour Hess : Introduction to Theoretical Meteorology
- Haltiner Lartin : Dynamical and Physical Meteorology
- Panofsky : Introduction to Dynamical Meteorology.